

Verspannte Quantum Wells

STRAINED QUANTUM WELLS

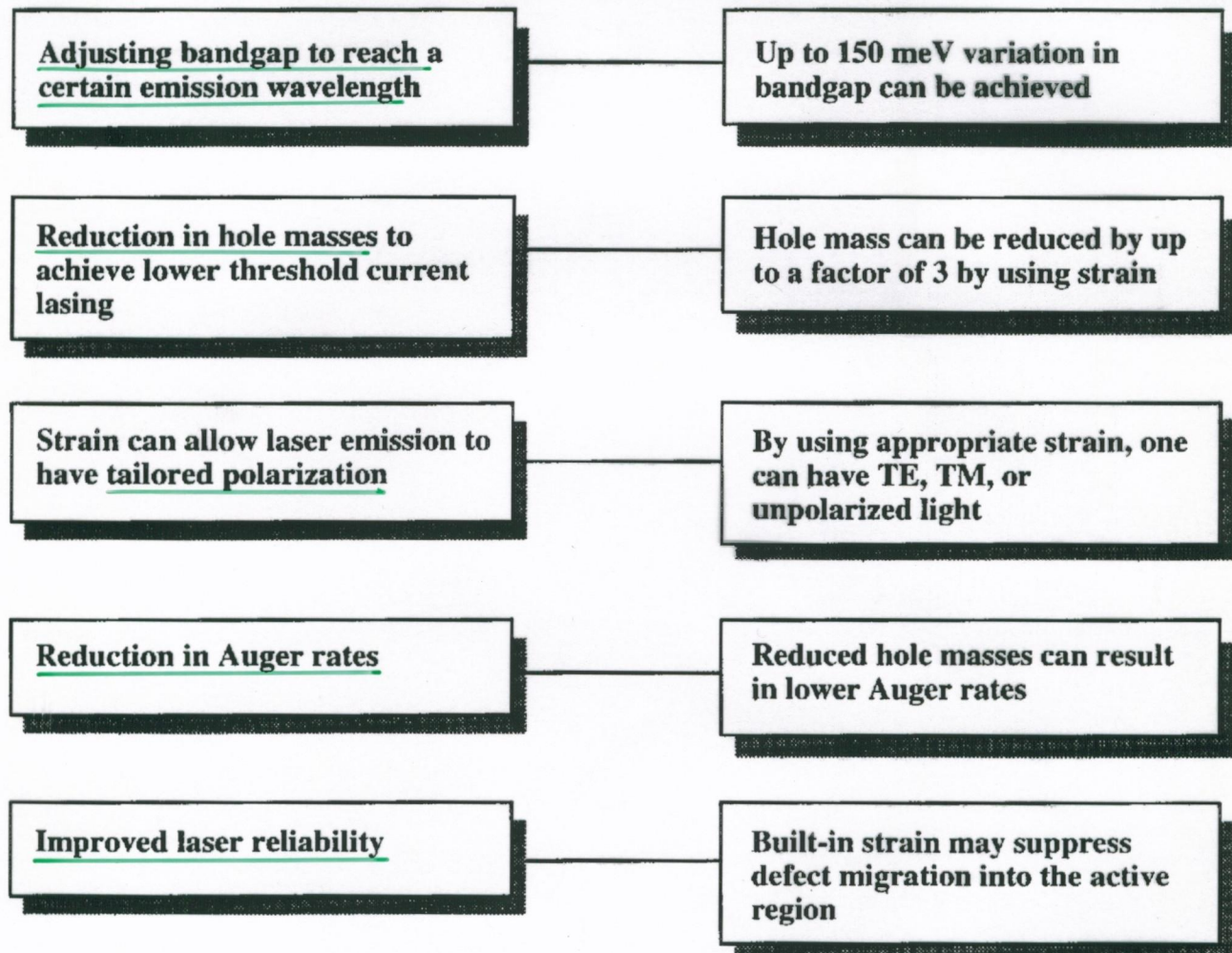


Figure 10.15: Some of the important advantages that can be achieved by incorporating strain in quantum well lasers. The issues of lower Auger recombination and laser reliability are still being researched.

Verspannte QW-Laserstrukturen

a) verspannte Schichten

Folie 113, 118, 119

$$\text{Spannung: } \varepsilon_{xx} = \varepsilon_{yy} = \frac{\alpha_{\text{substrat}} - \alpha_{\text{schicht}}}{\alpha_{\text{schicht}}} =: \varepsilon$$

$$\varepsilon_{zz} = - \frac{2c_{12}}{c_{11}} \cdot \varepsilon_{xx}$$

↑

↑ kann > 0 ... tension
oder < 0 ... compression
sein !

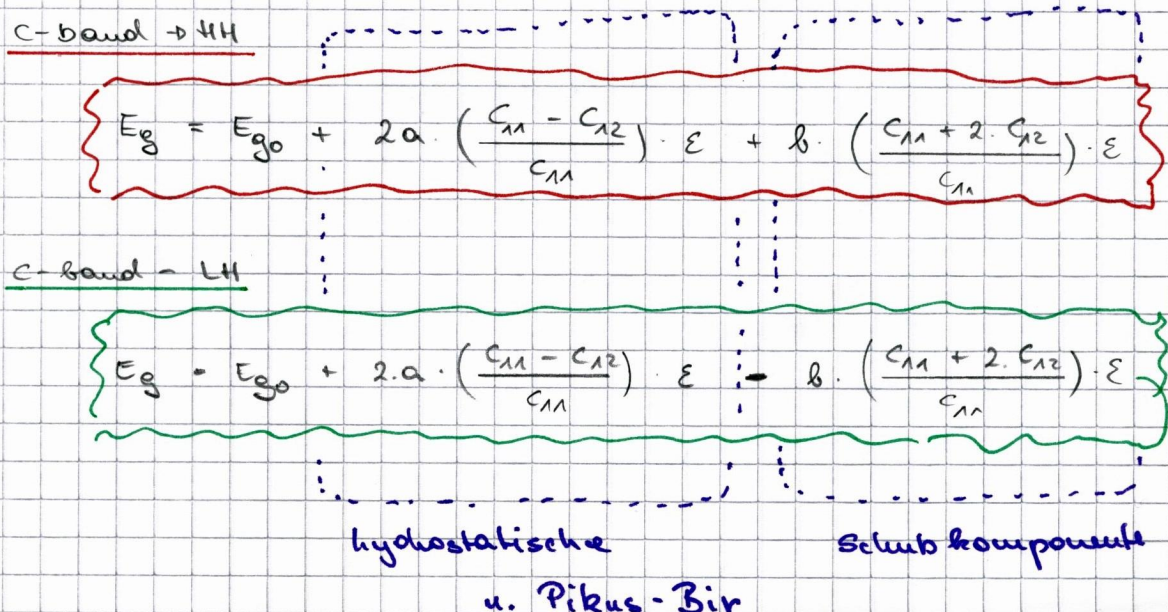
Elastizitätstheorie

c_{ij} ... Kraftkomponenten (-konstanten)

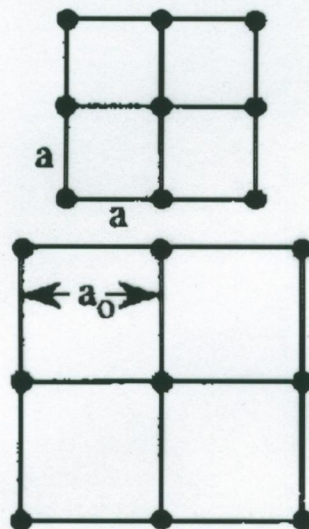
Die Verspannung kann die Bandstruktur modifizieren. Diese Verspannung wird bei der Herstellung der Epitaktischen Schichten durch Anwendung eines Halbleiters mit unterschiedlicher Gitterkonstante zum Substrat eingebaut. Der "strain" hat aber einen dramatischen Einfluss auf die optischen Eigenschaften des Systems.

1.) Durchstimmen der Bandlücke

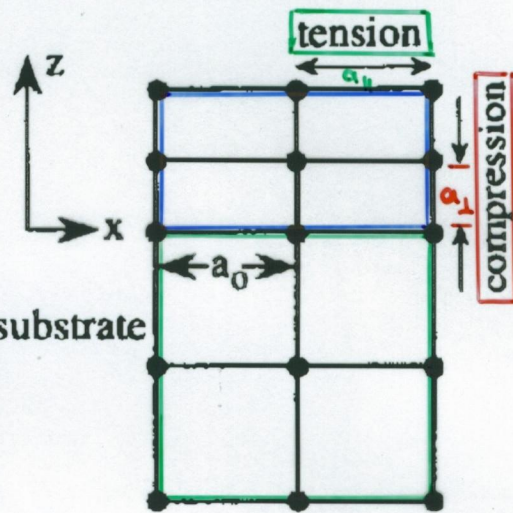
Der eingegebene strain ermöglicht es die Bandlücke eines HL genau einzustellen. Verspannung bewirkt eine Abspannung der schweren und leichten Löcher und die Bandlücken ergeben sich zu



(a) Unstrained



(b) Strained (biaxial tension)



z.B:
GaN

GaAs

Figure 4.7. A layer material with a lattice constant a to be grown on a substrate with a lattice constant a_0 : (a) unstrained; (b) strained.

$$\varepsilon_{xx} = \varepsilon_{yy} = \frac{a_0 - a}{a} = \frac{a_{\text{substrat}} - a_{\text{layer}}}{a_{\text{layer}}}$$

$$\varepsilon_{zz} = -\frac{2C_{12}}{C_{11}}\varepsilon_{xx}$$

ε ... strain

C_{ii} ... force constants

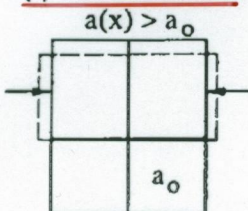
Table 4.1. Material Parameters

Parameters	GaAs	InAs	InP
a_0 (Å) ... lattice const.	5.6533	6.0584	5.8688
E_g (eV) ... energy gap	1.424	0.36	1.344
γ_1	6.85	20.4	4.95
γ_2	2.1	8.3	1.65
γ_3	2.9	9.1	2.35
C_{11} (10^{11} dyn/cm 2)	11.879	8.329	10.11
C_{12} (10^{11} dyn/cm 2)	5.376	4.526	5.61
$a = a_c - a_v$ (eV)	-9.77	-6.0	-8.6
b (eV)	-1.7	-1.8	-2.0
m_e^*/m_0	0.067	0.025	0.077

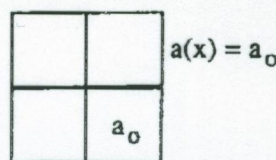
a } - Deformation potentials < hydrostatic

(Druck)

(a) COMPRESSION



(b) NO STRAIN



(Zug)

(c) TENSION

$$a(x) < a_0$$

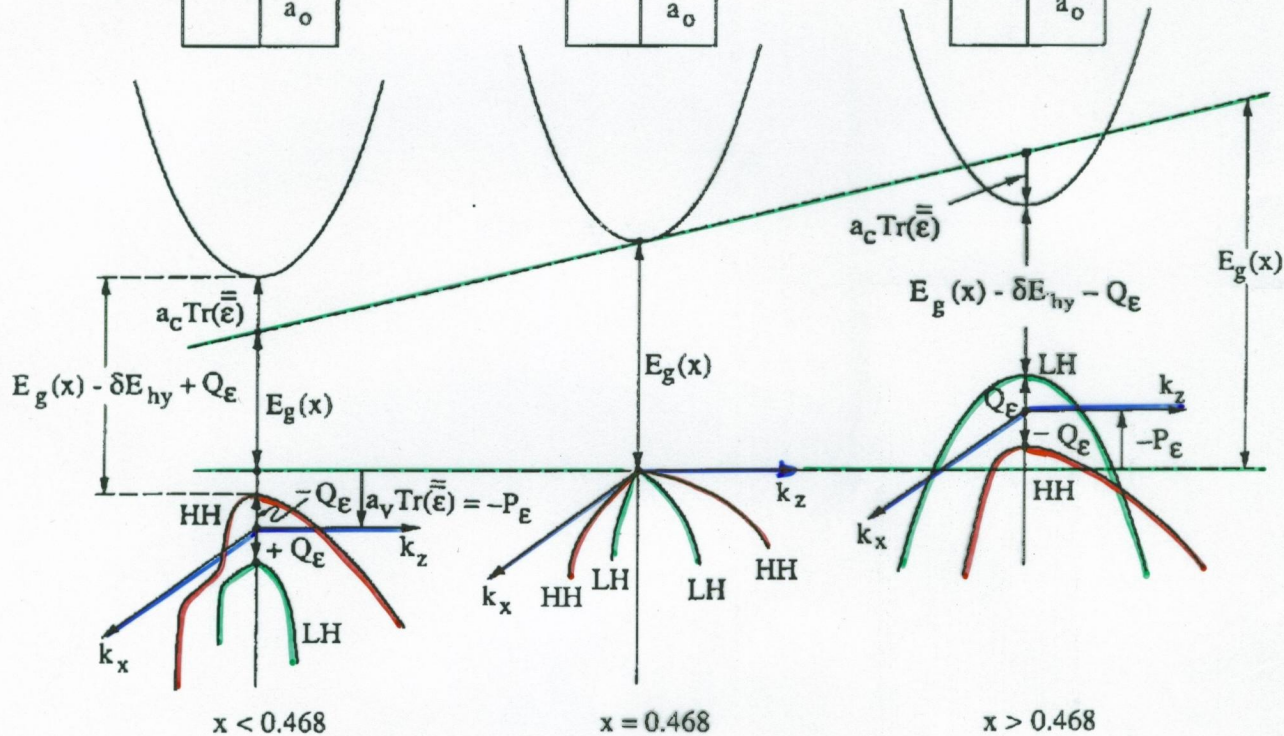


Figure 4.8. The energy-band structure in the momentum space for a bulk $\text{Ga}_x\text{In}_{1-x}\text{As}$ material under (a) biaxial compression, (b) lattice-matched condition, and (c) biaxial tension for different Ga mole fractions x . The heavy-hole band is above the light-hole band and its effective mass in the transverse plane (the k_x or k_y direction) is lighter than that of the light-hole band in the compressive strain case in (a). The light-hole band shifts above the heavy-hole band in the case of tension in (c). (After Ref. 37.)

C-band \rightarrow HH:

hydrostatisch
↓

Scherkomponente
↓

$$E_g = E_{g0} + 2 \cdot a \cdot \left(\frac{c_{11} - c_{12}}{c_{11}} \right) \cdot \varepsilon + b \cdot \left(\frac{c_{11} + 2 \cdot c_{12}}{c_{11}} \right) \cdot \varepsilon$$

C-band \rightarrow LH:

$$E_g = E_{g0} + 2 \cdot a \cdot \left(\frac{c_{11} - c_{12}}{c_{11}} \right) \cdot \varepsilon - b \cdot \left(\frac{c_{11} + 2 \cdot c_{12}}{c_{11}} \right) \cdot \varepsilon$$

wobei $\varepsilon = \frac{a_{\text{substrate}} - a_{\text{layer}}}{a_{\text{layer}}}$

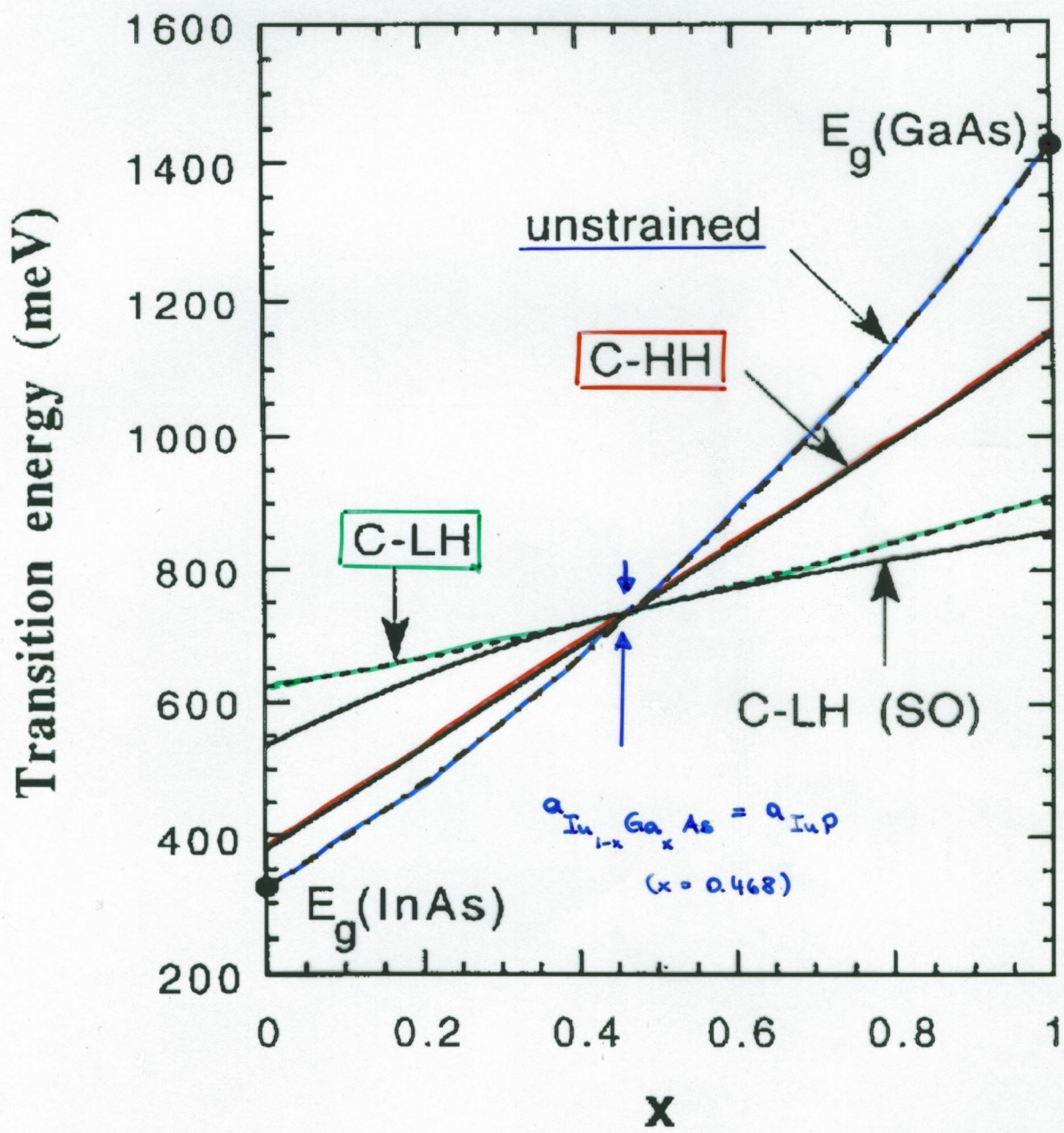
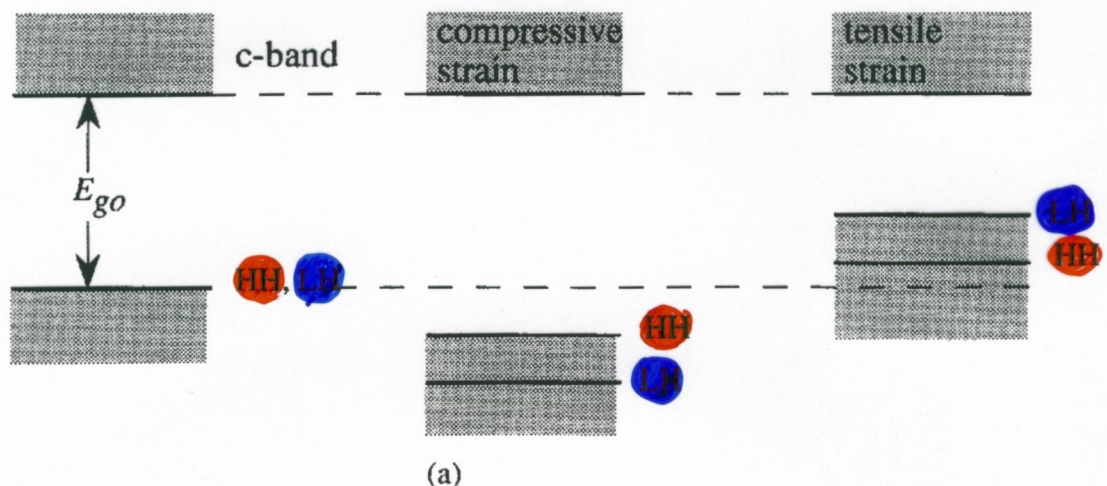
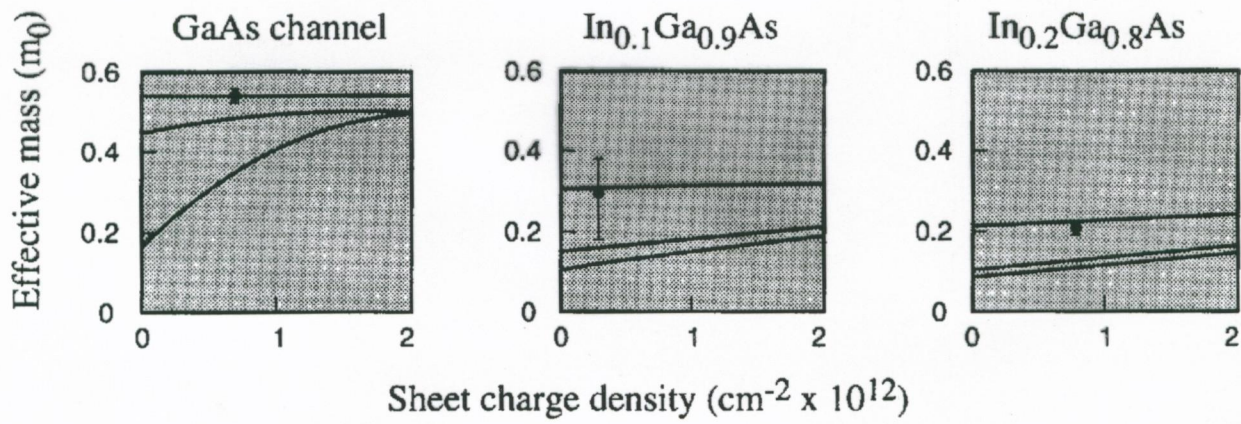


Figure 4.9. The energy band gap of a bulk $In_{1-x}Ga_xAs$ vs. the Ga mole fraction x : ---, unstrained $In_{1-x}Ga_xAs$; —, transition energies from the conduction band (C) to the heavy-hole (HH) and light-hole (LH) bands for a bulk $In_{1-x}Ga_xAs$ pseudomorphically grown on InP; ---, the conduction to light-hole transition energy calculated without the spin-orbit (SO) split-off band coupling. (After Ref. 38.)



(a)



(b)

Figure 10.16: (a) The effect of strain on the bandedges (with reference to the conduction band). (b) The effect of strain on the near bandedge hole masses. Results are for layers grown on a GaAs substrate. The top curve is for 300 K, the middle curve for 77 K and the bottom curve for 4 K. (After M. Jaffe, J. E. Oh, J. Pamulapati, J. Singh and P. Bhattacharya, *Applied Physics Letters*, 54, 2345 (1989).)

2) Reduzierung des Schwellstroms

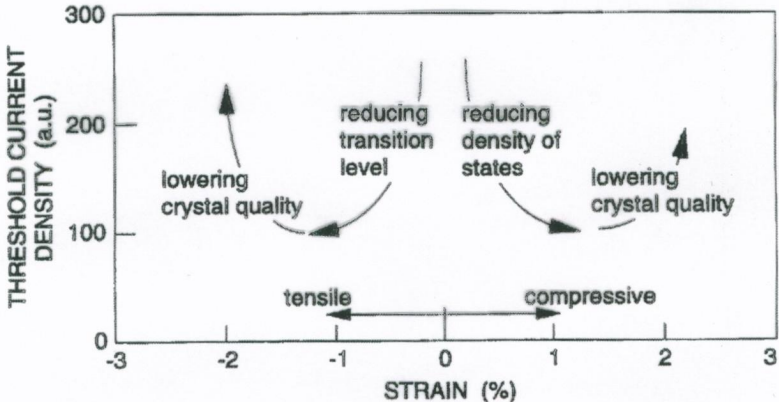
Einer der wichtigsten Beweggründen für die Verwendung von unverspannten QW's ist die Möglichkeit der Verringerung des Schwellstroms. Durch die Verspannung wird die Entartung zw. HH und LH Zuständen aufgehoben, welche eine Reduzierung der in-plane Löcherzustandsdichte bewirkt. Die LH-LH Aufspannung kann bei ~3% bis zu 100 meV betragen und die Löcherzustandsdichtenfunktion kann bis zu einem Faktor 3 abnehmen.

Sowohl für Zugverspannungen als auch Druckverspannungen nimmt I_{th} ab da in beiden Fällen die Bandkantenmassen kleiner werden.

Wegen Quantisierungseffekt wird aber in unverspannten Schichten aufänglich I_{th} erhöht. (Gegenzug Strain-QV-Effekt)

3) Polarisationssteuerung

Wir haben früher schon gesehen, dass die HH-Zustand nur an die TE-Modes koppeln während die LH Zustand viermal stärker an die TM Moden als an die TE-Modes koppelt. Da eine Verspannung die Aufspaltung zwischen HH und LH bewirkt und sich dadurch auch ihre Besetzung am Schwellwert ändert, ist es möglich die Polarisation des emittierten Lichtes einzustellen. Für viele Anwendungen ist es von Bedeutung unpolarisiertes Licht zu verwenden. In einem unverspannten QW ist jedoch das Licht stärker TE-polarisiert als TM (da HH über LH liegt.) Durch Einbau einer Zugverspannung kann man jetzt jedoch wieder unpolarisiertes Licht bekommen.



4.) Unterdrückung des Augerprozesses

Ein wichtiger Parameter bei der Auger-Rate ist die Minimale Schwellenergie die Ladungsträger zur Initiierung eines Augerprozesses haben müssen.

Diese Minimalenergie ergibt sich aus der Energie und Impulserhaltung.

Eine Verspannung bewirkt jetzt sowohl eine Änderung der Scherwasse als auch eine Änderung der Minimalenergie für einen Augerprozess.

Strain verändert sowohl die Masse als auch die Energie und die spin orbit Aufspaltungsenergi Δ .

⇒ dies kann zu einer reduzierten Auger rate führen!

5.) Laser zuverlässigkeit

In den ersten Perioden mit verspannten Epitaxieschicht hatte man befürchtet, daß der eingebaute Strain die Lebensdauer der Bauelemente drastisch reduzieren könnte. Es hat sich jedoch herausgestellt, daß in beiden elektronischen als auch optoelektronischen Bauelementen die Zuverlässigkeit dieser Bauelemente nur verbessert wurde.

Es stellte sich nämlich heraus, daß verspannte Schichten die Defektausbreitung unterdrücken und daß Defekte davon gebündelt werden in die verspannten Schichten hinein zu wandern.

Quantum Wire und Quantum dot Laser

Aus den früheren Überlegungen kann man sich jetzt die ideale Bandstruktur oder Zustandsdichte für einen niedrigen Schwellstrom eines lasers denken. Für einen geringen Schwellstrom sollte der Term $f_e + f_h - 1$ positiv für die niedrigst mögliche Injektion sein. Dies erfügt folgende Forderungen an die Zustandsdichte:

- i) Die Zustandsdichte sollte bei der Laserenergie hoch und bei den anderen Energien niedrig sein, sodass alle injizierten Ladungsträger zur Erhöhung von f_e und f_h bei der Laserenergi beitragen
 - ii) Die Elektronen- und Löcherzustandsdichten sollten symmetrisch sein, sodass beide f_e und f_h hoch sind bei niedriger Injektion
- ⇒ Diese Überlegungen sind die treibenden Kräfte für QW- und respankte QW-Schichten.

Im Quantendraht:

$$\begin{aligned} N(E) &= \sqrt{2} \cdot \frac{m^{\frac{1}{2}}}{\pi \cdot t_0} \cdot (E - E_u)^{-\frac{1}{2}} \\ &= \left(\frac{m}{m_0}\right)^{\frac{1}{2}} \cdot (E - E_u)^{-\frac{1}{2}} \cdot (1,626 \times 10^7) \text{ eV}^{-1} \text{ cm}^{-1} \end{aligned}$$

das Leitungsband kann ganz gut durch eine parabolische Näherung beschrieben werden. Für die Valenzbandzustandsdichte sind jedoch starke nicht-parabolische Terme mit zu berücksichtigen.

Aufgrund der Singularität der Zustandsdichte bei der Bandkante ist der Gain dort viel größer als der eines QW - für vergleichbare 3-dim. Injektionsdichten → Reduktion des Schwellstromdichte

Quantum punkte: noch deutlicher ausgeprägt.

Zusammenfassung der Vor- und Nachteile Sub-2D Lasersysteme

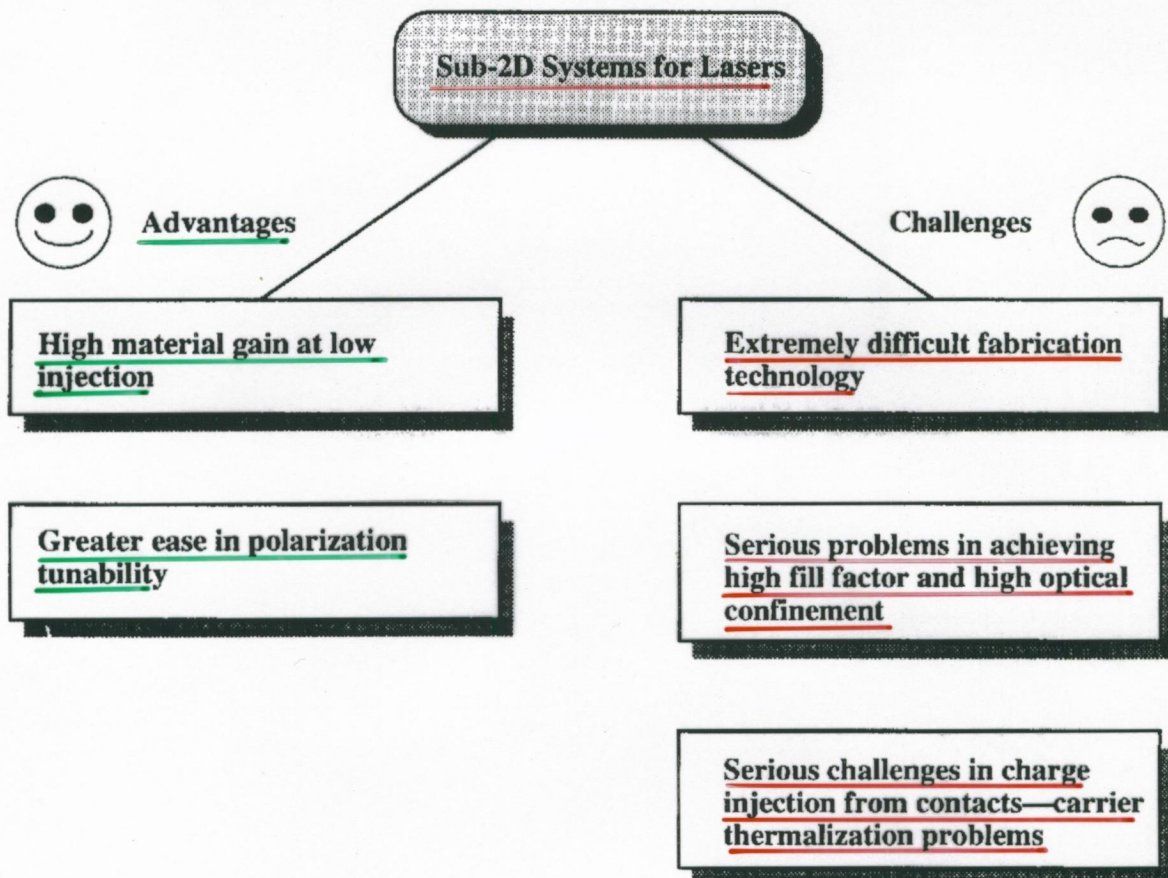


Figure 10.17: Some advantages and disadvantages of sub-2D systems (quantum wires and dots) for lasers.

Fortschreitliche Strukturen durch Beeinflussung des Resonators

(\Rightarrow optische Eigenschaften werden verändert)

1.) Fabry - Perot - Resonator

Eine häufig verwendete Resonatorstruktur ist der Fabry - Perot Resonator mit einer Wellenleiterstruktur der Länge L und Breite a_T .

Folie Fig. 10.3

Diese Struktur kann wie schon früher diskutiert eine Anzahl von Moden haben (Modenkamm). Sobald der Laser gepumpt wird, beginnen einzelne Moden stimulierend zu emittieren. Obwohl beim Betrieb mit höheren Strömen nur beschichtete Moden am Peakmaximum der Gainkurve zum Losen beginnen, werden trotzdem meistens mehrere Moden gleichzeitig oder hintereinander angeregt.

\Rightarrow Modenreinheit des Fabry - Perot lasers ist nicht sehr gut

Charakteristisches Seitenmodenunterdrückungsverhältnis

(Side-mode suppression or mode suppression ratio MSR)

$$\text{MSR} = \frac{P_0}{P_1}$$

(gut wenn das Verhältnis $\text{MSR} = 20 \Rightarrow 13 \text{ dB}$

Mit der Modenauflösung:

$$\Delta k = \frac{\pi}{L}$$

$$\Delta \varphi = \frac{c}{2 \cdot n_r \cdot L}$$

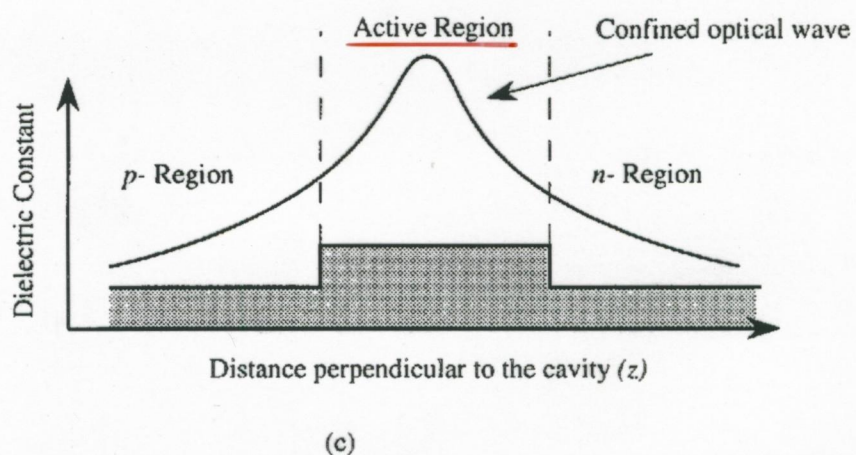
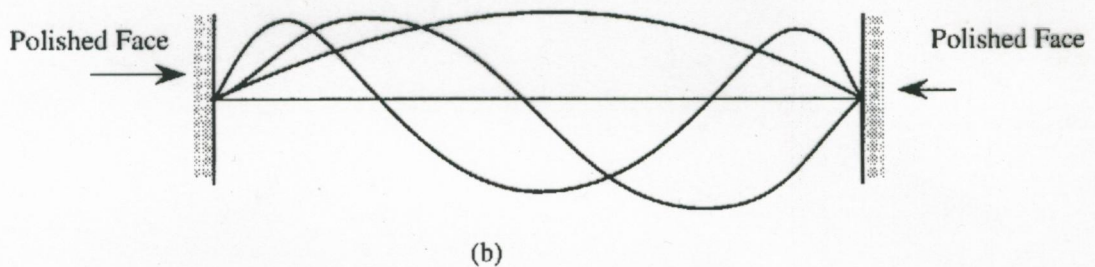
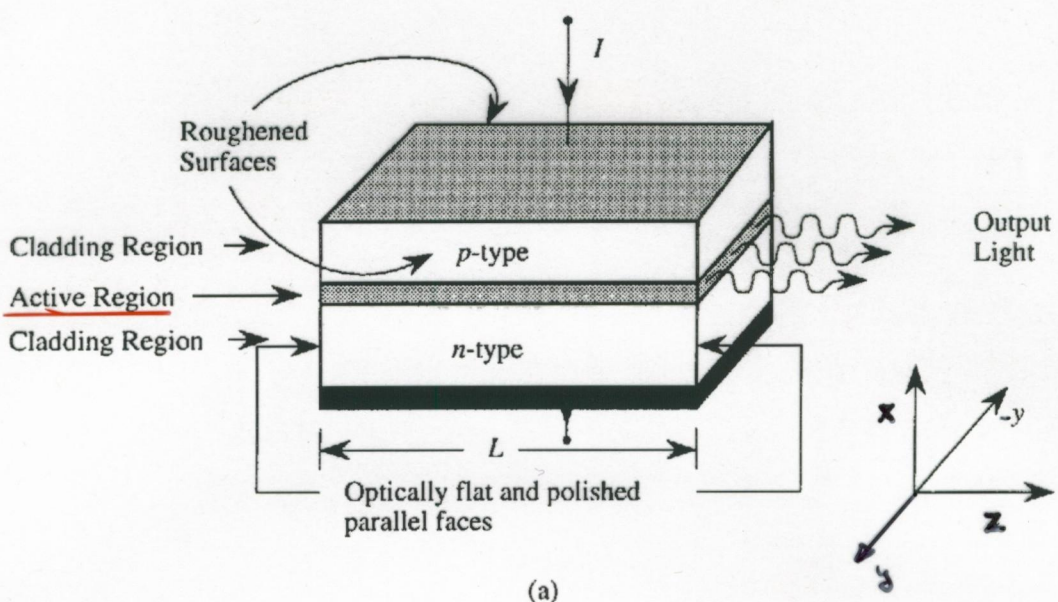
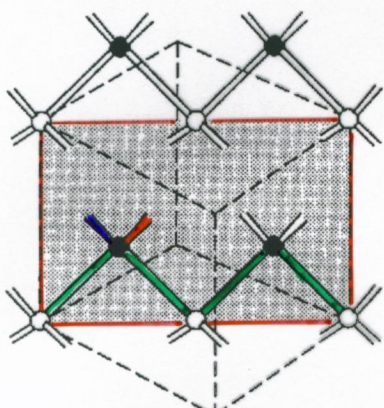


Figure 10.3: (a) A typical laser structure showing the cavity and the mirrors used to confine photons. The active region can be quite simple as in the case of double heterostructure lasers or quite complicated as in the case of quantum well lasers. (b) The stationary states of the cavity. The mirrors are responsible for these resonant states. (c) The variation in dielectric constant is responsible for the optical confinement. The structure for the optical cavity shown in this figure is called the Fabry-Perot cavity.

FP-laser

(Für Halbleiter mit Zinkblendestruktur)



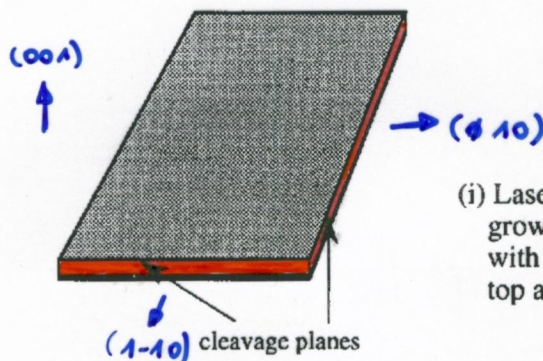
(a)

ATOMS ON THE (110) PLANE

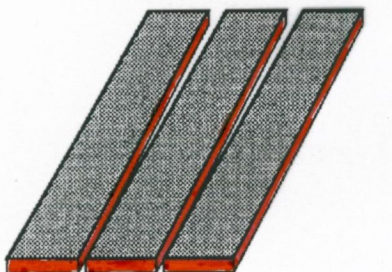
Each atom has 4 bonds:

- 2 bonds in the (110) plane
- 1 bond connects each atom to adjacent (110) planes

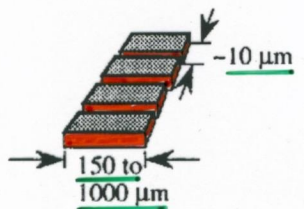
→ Cleaving adjacent planes requires breaking 1 bond per atom



(i) Laser heterostructure grown along (001) with ohmic contacts on top and bottom faces.



(ii) Cut into bars along one (110) direction.



(b)

(iii) Bars cleaved into stripes along another (110) direction. Typical dimensions are indicated.

$$\Delta \Phi = \frac{T}{L}$$

$$\Delta \Phi = \frac{c}{2n_r L}$$

Figure 10.18: (a) The cleaving plane of zinc-blende structures has adjacent planes connected by a single bond. (b) The approach used to produce a Fabry-Perot optical cavity involves cleaving a wafer containing the laser diode structure.

FP - laser struktur:

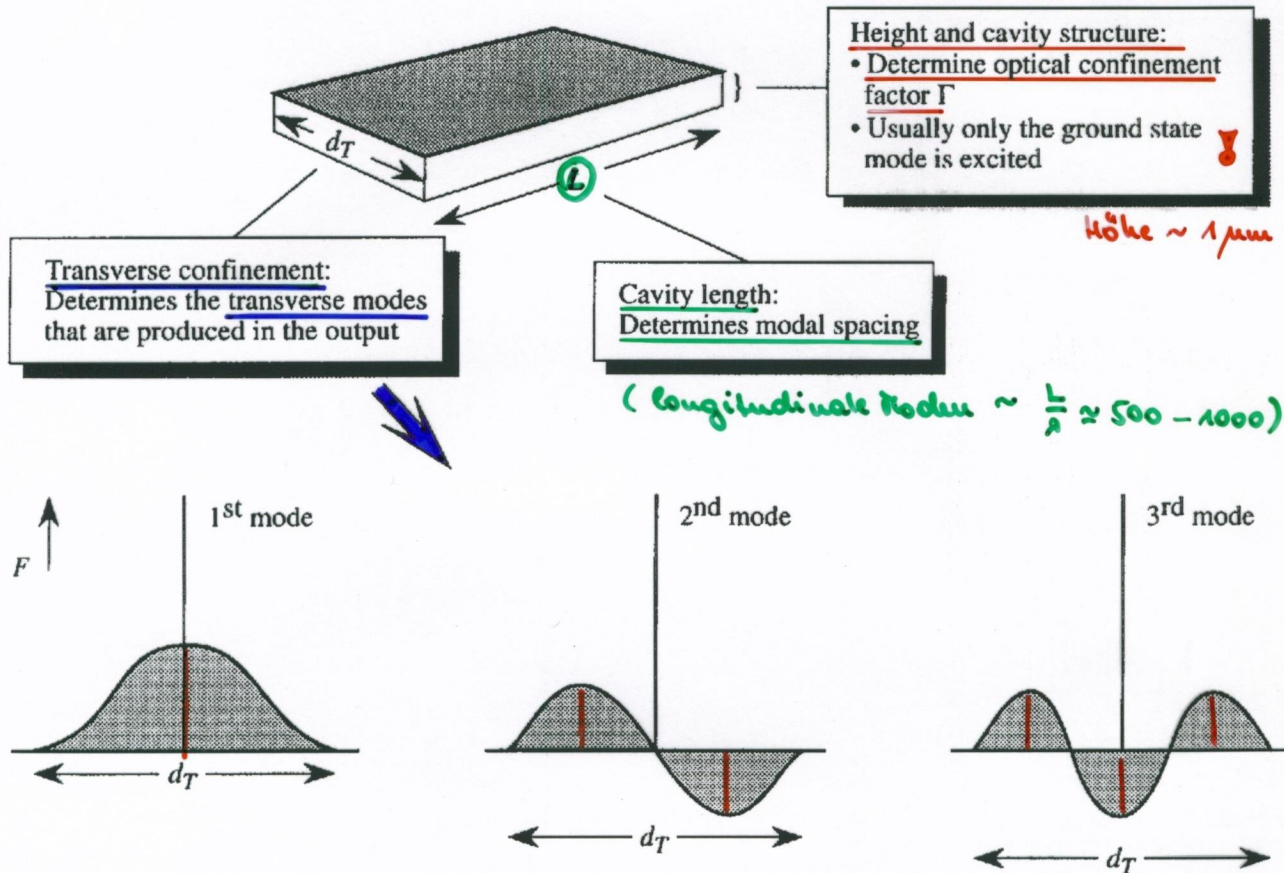


Figure 10.19: The various geometric parameters of a Fabry-Perot laser and their importance for the laser emission. A schematic of the various lateral modes are also shown.

Abschallcharakteristik (Nahfeld)



$$\Delta v = \frac{c}{2n_r L}$$

mit $L \gg d_T$

$$\Rightarrow \Delta v_L \ll \Delta v_{d_T}$$

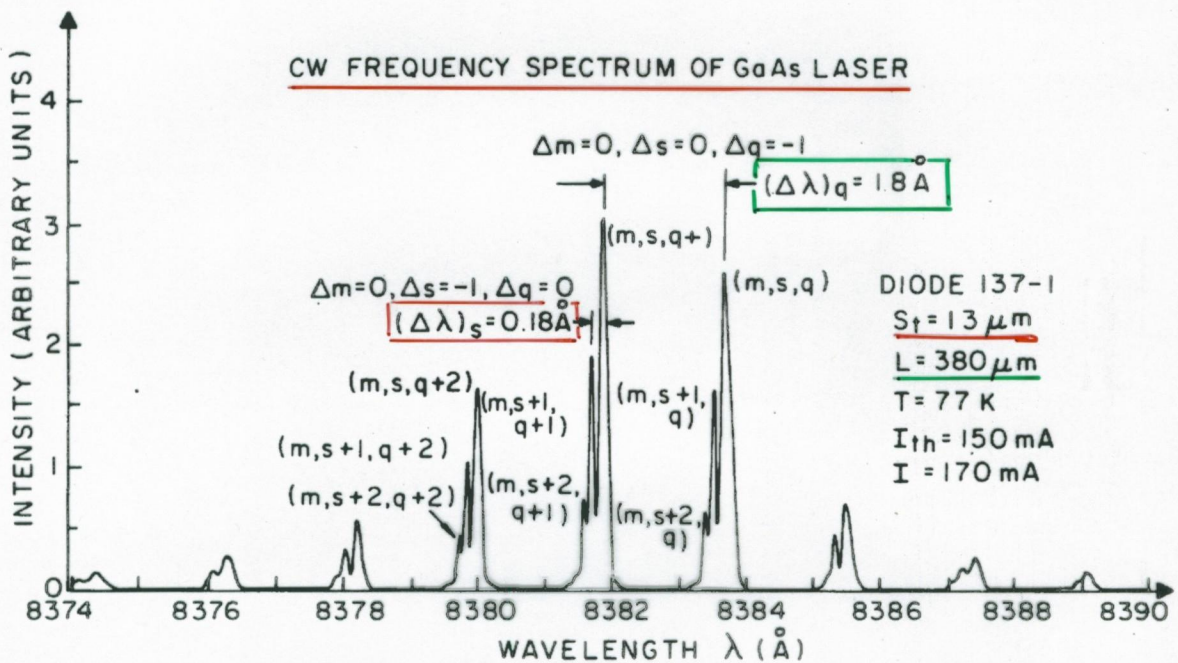
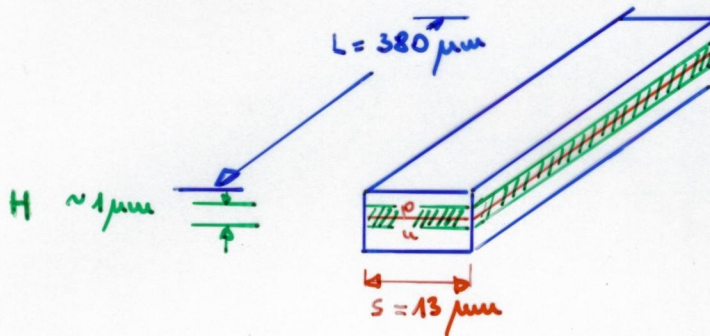


FIG. 5.7.2 Spectrum from homojunction CW stripe-geometry laser diode, formed with oxide isolation, operating at 77 K. The structure due to the longitudinal mode groups (q) is clearly seen with associated structure due to the lateral modes (s). The stripe width of the laser is $13 \mu\text{m}$, and it is operating in the fundamental ($m = 1$) transverse mode [26].

$$L \rightarrow \Delta q$$

$$S \rightarrow \Delta s$$

$$H \rightarrow \Delta m$$

Einfluss der Breite der Laserstruktur

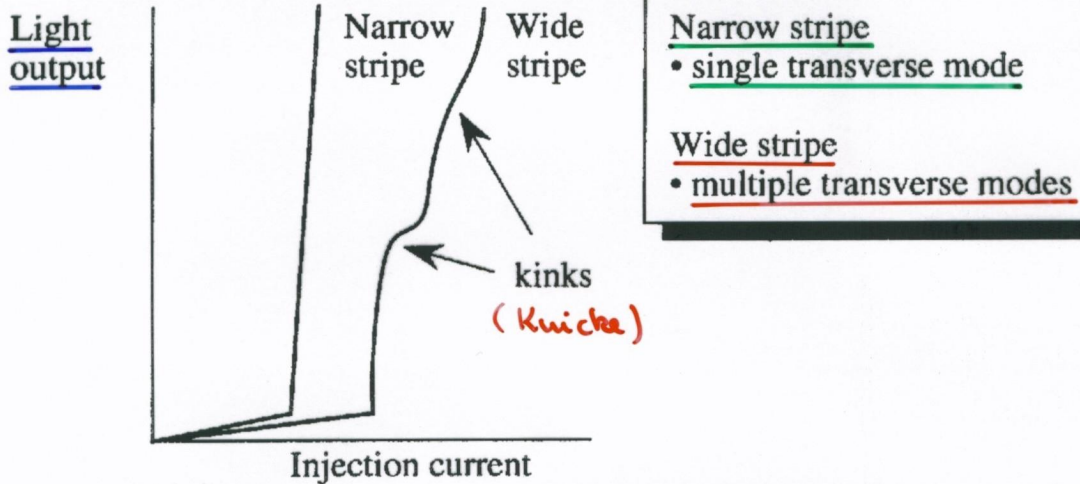


Figure 10.20: The shift in transverse modes participating in the optical output of a laser produce kinks in the light output-current curves.

- ⇒ Ist die Breite der Lasers zu groß, so treten in der Licht-Strom-Kennlinie Knicke auf. Dort wechselt das Laserlicht von einer transversalen Mode in eine andere.
Identifizierbar über Nahfeldaufnahmen und auch am Ausgangsspektrum
- ⇒ Um nur eine Mode p. die transv. Richtung zu haben benötigt man ⇒ starke transversale Einengung
zwei Möglichkeiten: → Gain geführte Baulemente
→ Index geführte Baulemente

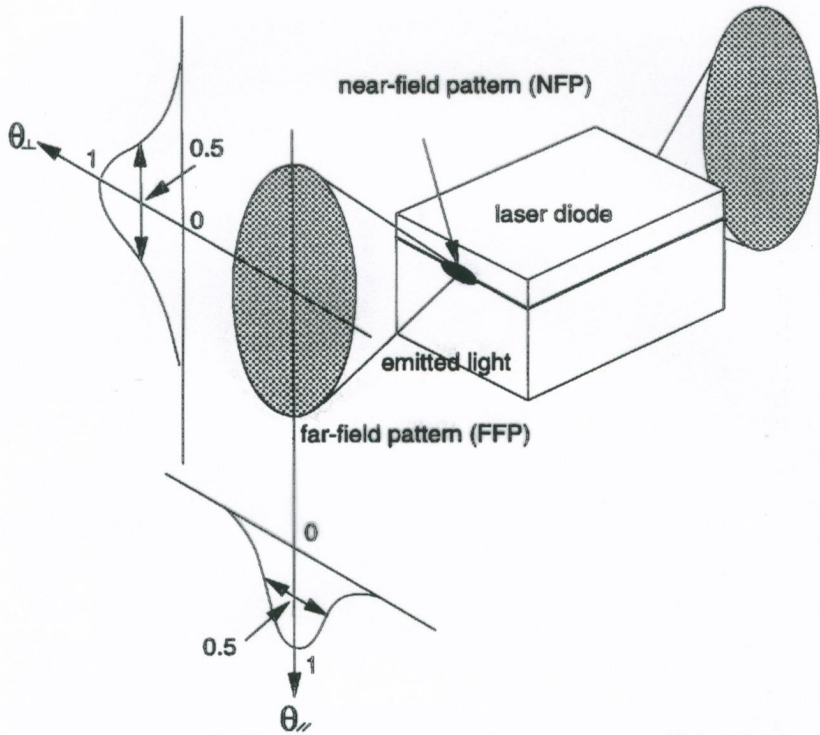
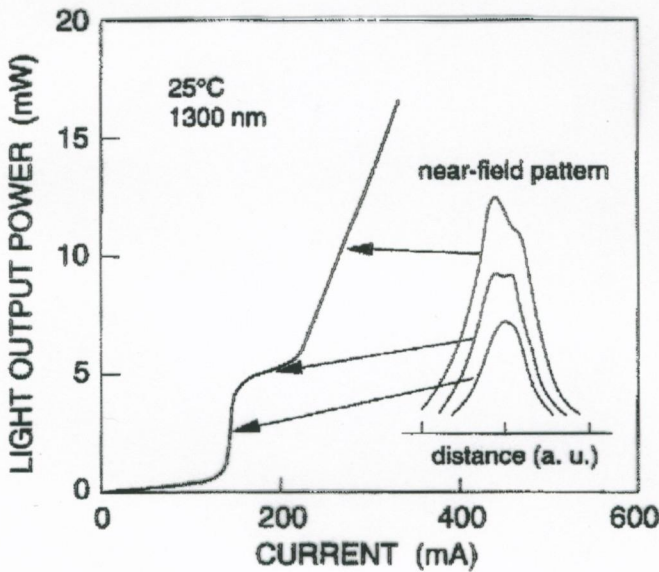


FIGURE 3.17 Light emission field: near-field pattern and far-field pattern.



Verstärkungsgeführte Resonatoren

Die meist verwendete und einfachste Methode um eine optische Welle zu führen und einzusegnen ist die Herstellung einer Steifengeometrie wie sie in Folie (Fig. 10.21) gezeigt ist

Folie

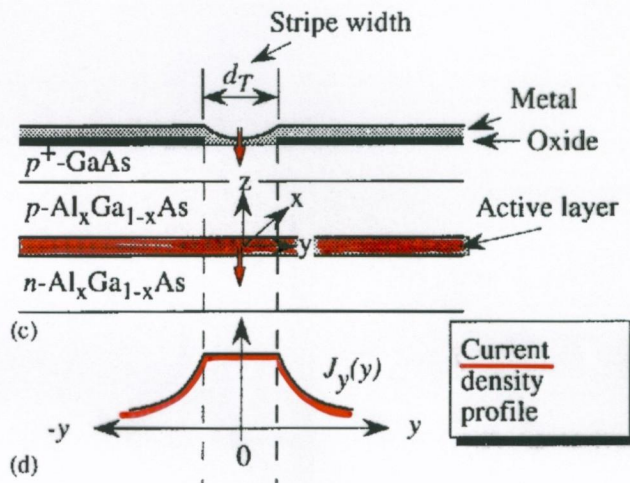
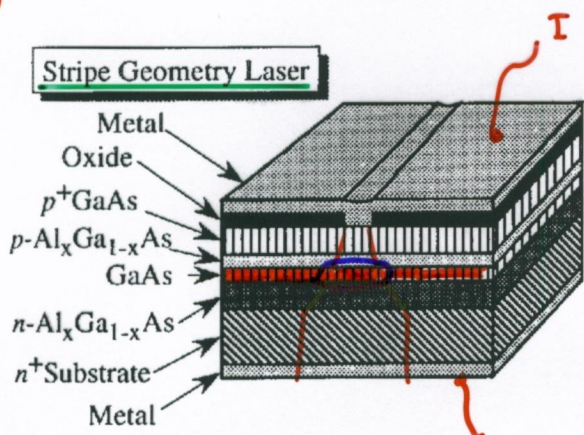
Der Halbleiter wird dabei mit einer dünnen SiO_2 -Schicht bedeckt in die ein dünner Steifer der Breite $d_T = 2-10\text{ }\mu\text{m}$ herausgeprägt wurde. Über die ganze Struktur wurde der Tantalkontakt aufgebracht. Der Strom fließt somit nur durch den engen offenen Oxidsteifen und wird damit auf ein enges Gebiet eingeschraubt. Ein ähnlicher Effekt wird bei dem "Ridge laser" - (Steifenlaser) erreicht. Das Stromprofil unterhalb des Steifens ist rechts und d dargestellt und wie deutlich sichtbar ist breitet sich dieser auch überhalb des Oxiids aus, aufgrund der diffusen Natur des Stromflusses. Das Ladungsträgerprofil ist in e) dargestellt. Da der Brechungsindex eines Materials von der Ladungsträgerdichte abhängt, entsteht auch ein nicht homogenes Indexprofil wie in f) dargestellt. Zusätzlich hat ebenfalls der Gain ein inhomogenes Profil wie in g) gezeigt. $[g(y) = a[u(y) - u_{\text{transp}}]]$

Ein wichtiger Punkt ist wie man aus dieser Folie sieht, dass nicht nur der Realteil des Brechungsindexes sondern auch der Gain (d.h. der Imaginärteil) sehr unhomogen ist. Tatsächlich ist es so, dass die Änderung d. Realteils des Brechungsindexes unter dem Steifen zu einem Antiführungsfehler führt. Aufgrund des sehr starken nicht homogenen Gainprofils kommt es trotzdem zu einem Wellenleiter effekt.

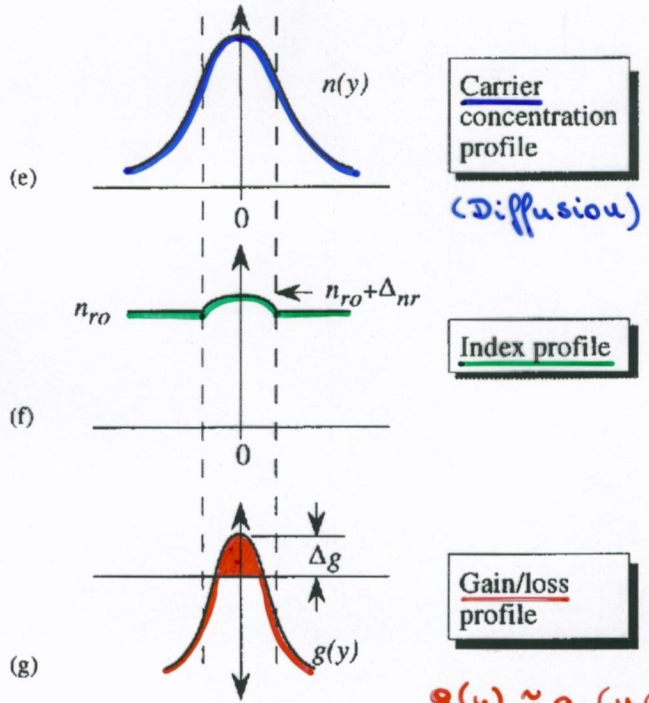
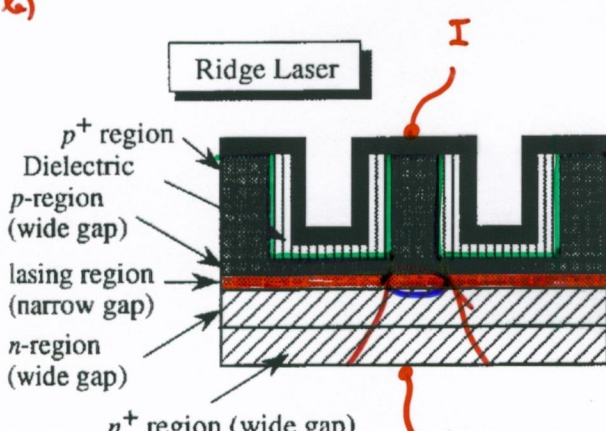
) schräge single transverse Mode (narrow stripe $\sim 2\text{ }\mu\text{m}$)
b) große Stromverluste wegen Stromverbreiterung (D. Diffusionslänge $\sim 1\text{ }\mu\text{m}$)

Gain geführte Bauelemente

a)



b)



$$g(y) \approx a \cdot (u(y) - u_m)$$

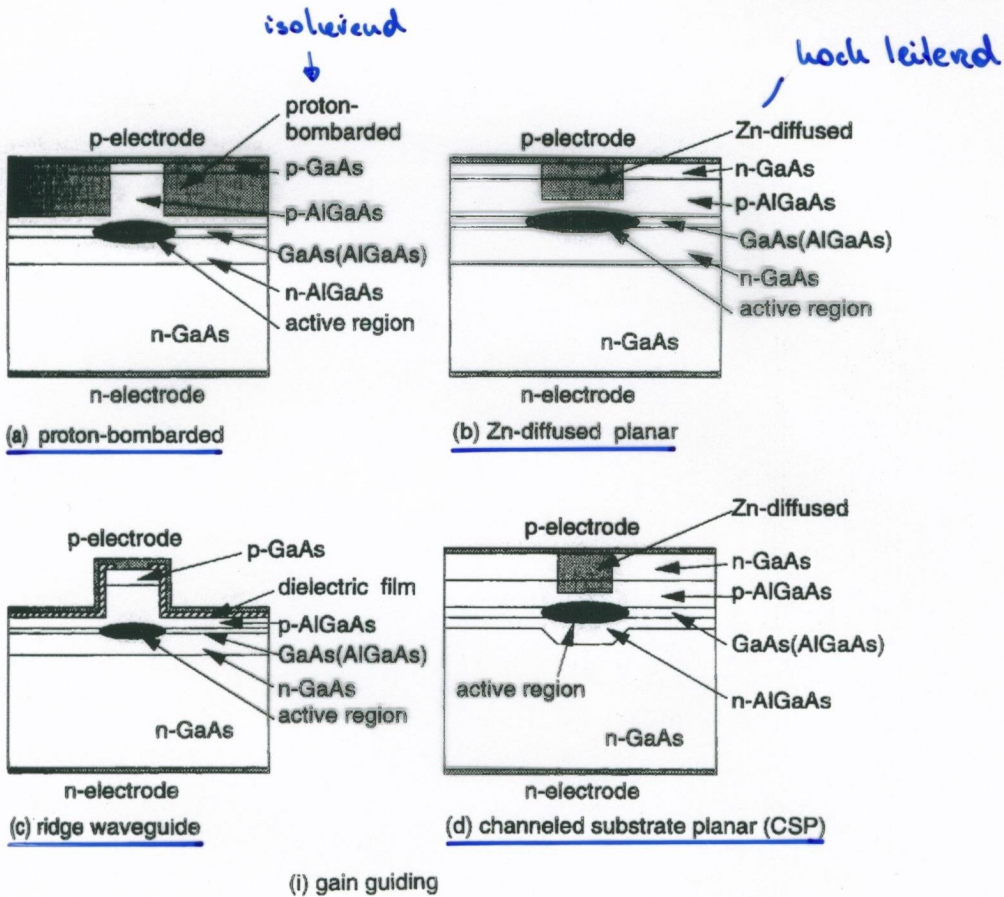
Figure 10.21: (a) The stripe geometry laser, (b) the ridge laser, (c) the current injection into the laser, (d) the current density profile, (e) the electron (hole) density profile in the active region, (f) The refractive index profile, and (g) the gain and loss profile.

die Änderung des Brechungsindex ist zu klein für eine gute Wellenleiterführung. (auch in falsche Richtung - antiguideing)
das starke nicht homogene Verstärkungsprofil führt aber zu einer Wellenleiterführung 8

⇒ Gain geführte Laser

Verstärkungsgeführte Laser

(verschiedene Ausführungen)



SEMICONDUCTOR LASERS

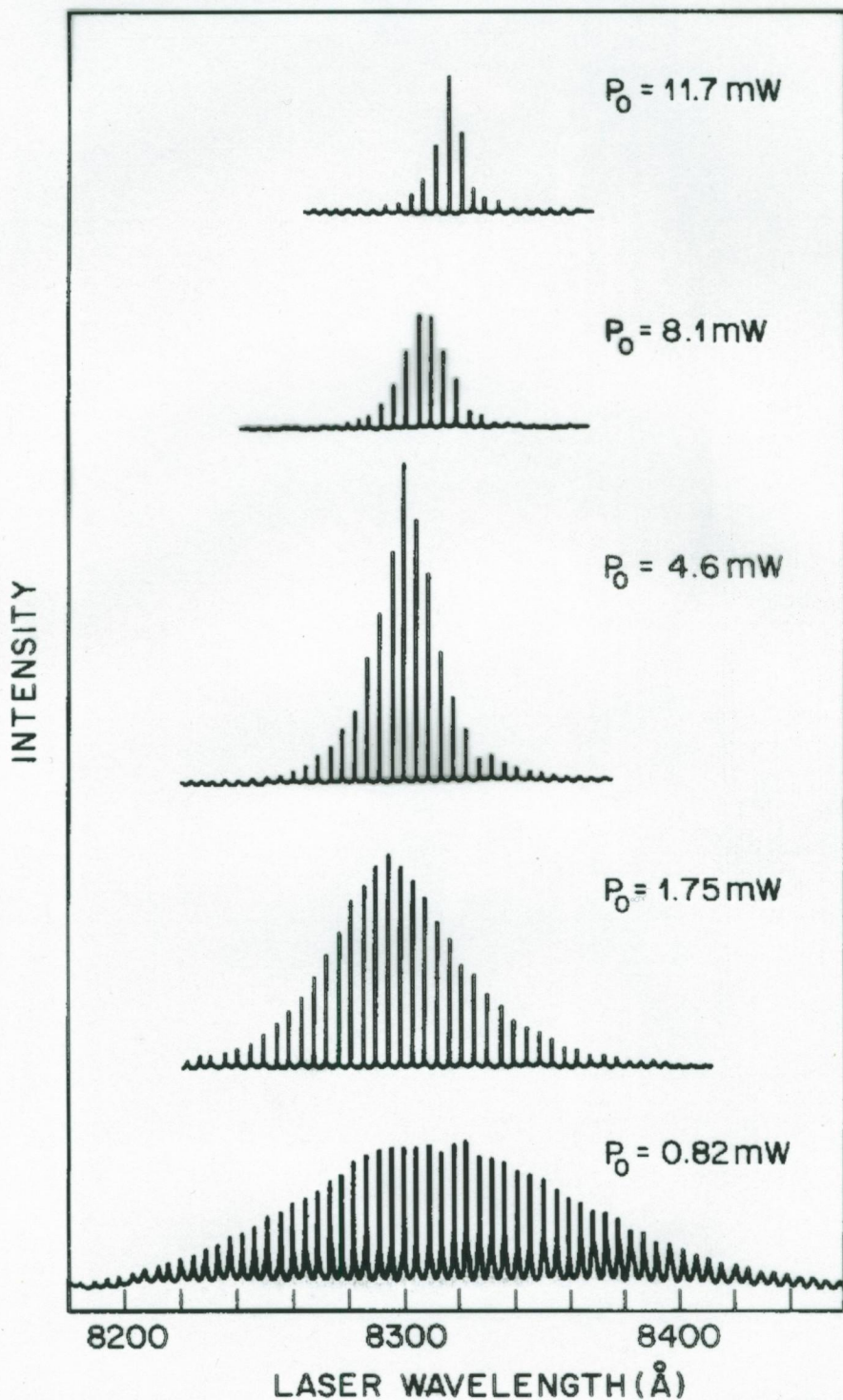


Fig. 6.6 Longitudinal-mode spectra of a gain-guided laser observed at several power levels. Experimental spectra for an index-guided laser are shown in Fig. 2.12. (After Ref. 35)

Index geführte Resonatoren

Bei Index geführten Resonatoren ist im Brechungsindexprofil ein Stufenprofil in der lateralen Richtung vorgegeben.

Fig. 10.22 (Folie)

⇒ sogenannte vergraben Struktur (buried heterostructure)

- Vorteile:
 - a) transversal monomodig (keine Kinks!)
 - b) niedrigere Schwellströme (keine Stromverbreiterung)
 - c) aktive Zone kann QW's enthalten

• Nachteil:

Schwierige Herstellung mit mehreren Ätzschritten und epitaktischen Überwachsen notwendig

→ teuer

Index - geführte Laser

(vergrabenene Strukturen - buried Heterostruktur laser)

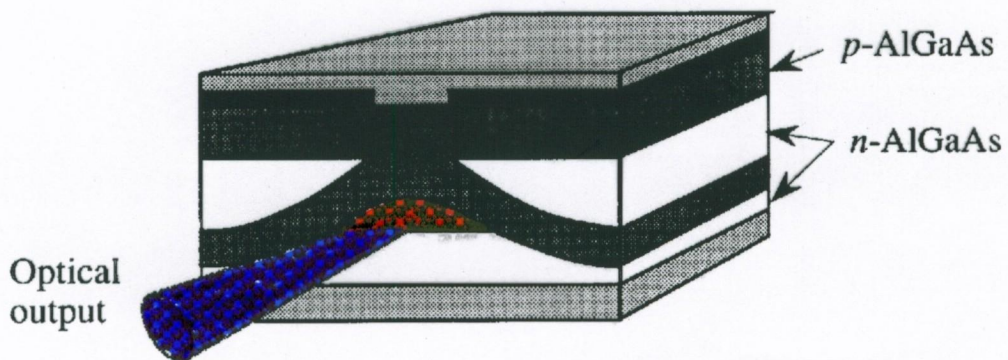
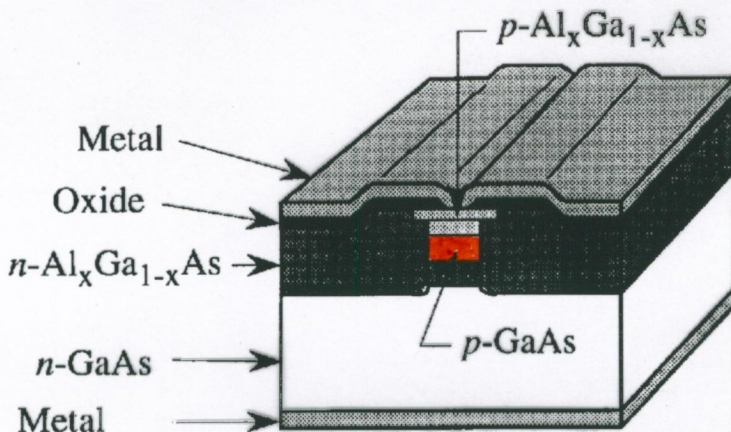
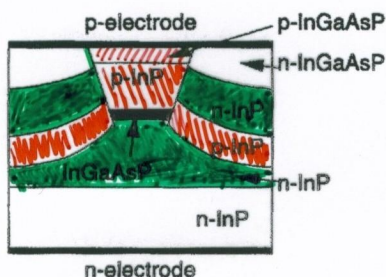


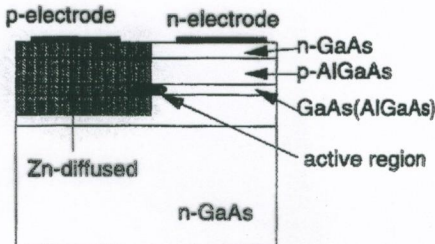
Figure 10.22: Index guided laser cavities. Etching and regrowth techniques are employed to produce buried active regions.

Diese Strukturen sind zwar rein in transversalen Moden, jedoch technologisch sehr aufwendig herzustellen

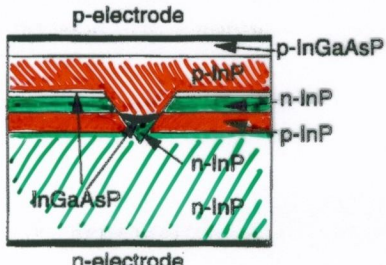
Brechungsindex geführte Laser



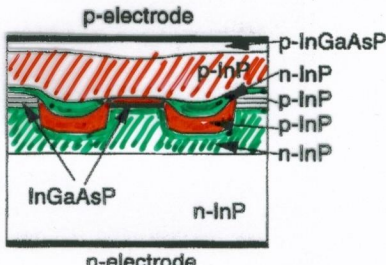
(e) buried heterostructure (BH)



(f) transverse junction stripe (TJS)



(g) v-grooved substrate BH (VSB)



(h) double-channel planar BH (DC-PBH)

(ii) refractive-index guiding

FIGURE 3.14 (Continued)

RATE EQUATIONS AND OPERATING CHARACTERISTICS

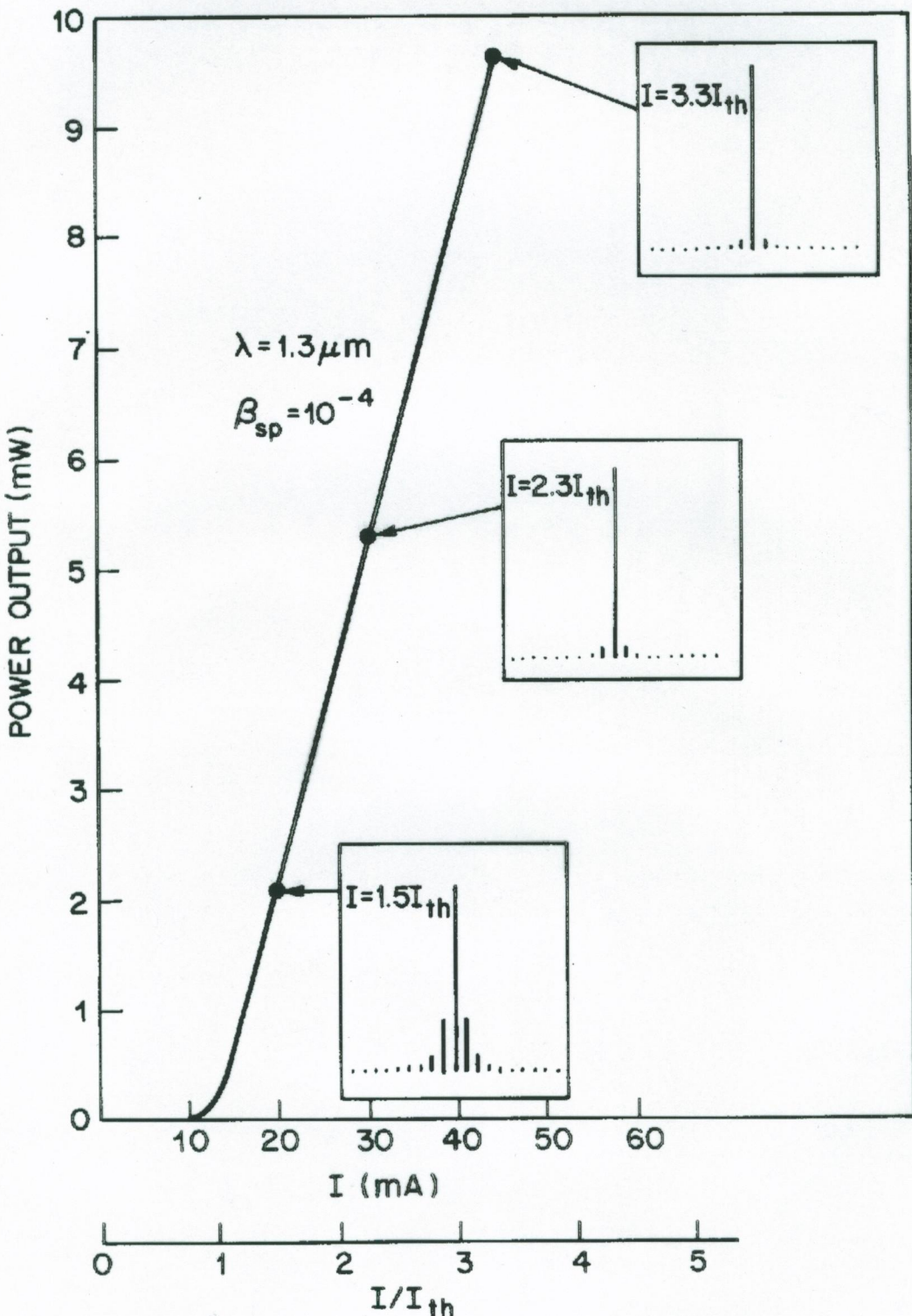
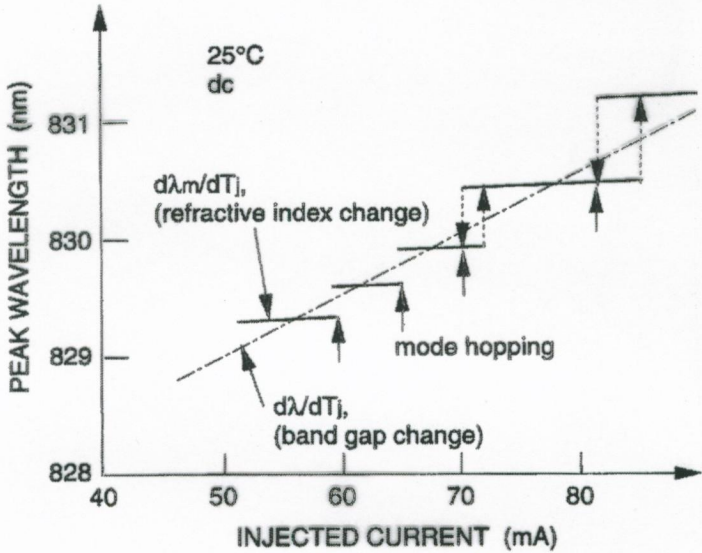


Fig. 6.5 Calculated L-I curve for the total output power of an index-guided laser. Insets show the longitudinal-mode spectra at three drive current levels. (After Ref. 34 © 1982 IEEE)



DFB - Distributed Feedback Laser

FB-laser sind zwar leicht zu fabrizieren aber eine Auswahl zu Nachteilen. Da nur einfarbe Spiegel für den stationären Betrieb verwendet werden, gibt es keine spezielle Auswahl einer ganz bestimmten optischen Mode und die Selektion der Moden ist einzig und allein dem Gain-spektrum überlassen. Da die Modenseparation etwa $4-5\text{ Å}$ ist im Vergleich zum ziemlich flachen Gain-spektrum ($\sim kT \approx 25\text{ meV}$) werden sehr viele Moden ausgewählt. Wie schon früher diskutiert, werden glücklicher Weise bei höheren Leistungen die Seitenmoden unterdrückt.

Tristrom ist auch unter den günstigsten Bedingungen die Finessebreite eines FP-Lasers ca. 20 Å , auch wenn jede Mode selbst sehr eng ist.

⇒ Kann man jetzt einen Resonator herstellen der von sich aus Modenselektion liefert?

Ein wichtiger Schritt für das Design eines optisch moden selektiven Resonators ist die distributed feedback (DFB) struktur (verteilte Rückkopplung). Die starke Modenselektion beim DFB basiert auf dem Ausbreitungsverhalten einer Welle in einer periodischen Struktur.

In der DFB-struktur wird ein periodisches Gitter in die Laserstruktur wie in Folie 10.23 gezeigt eingebaut.

Folie

Der Herstellungsprozess ist jedoch sehr kompliziert und erfordert

- a) Herstellung der Basis laserstruktur
 - b) Ätzen einer periodischen Struktur
 - (in der Nähe der aktiven Schicht, ohne Defekte)
 - c) Überwachung der L-Struktur
- } $\Rightarrow 1000 \times$ teurer als FP-Laser

DFB -laser

(distributed feedback laser)

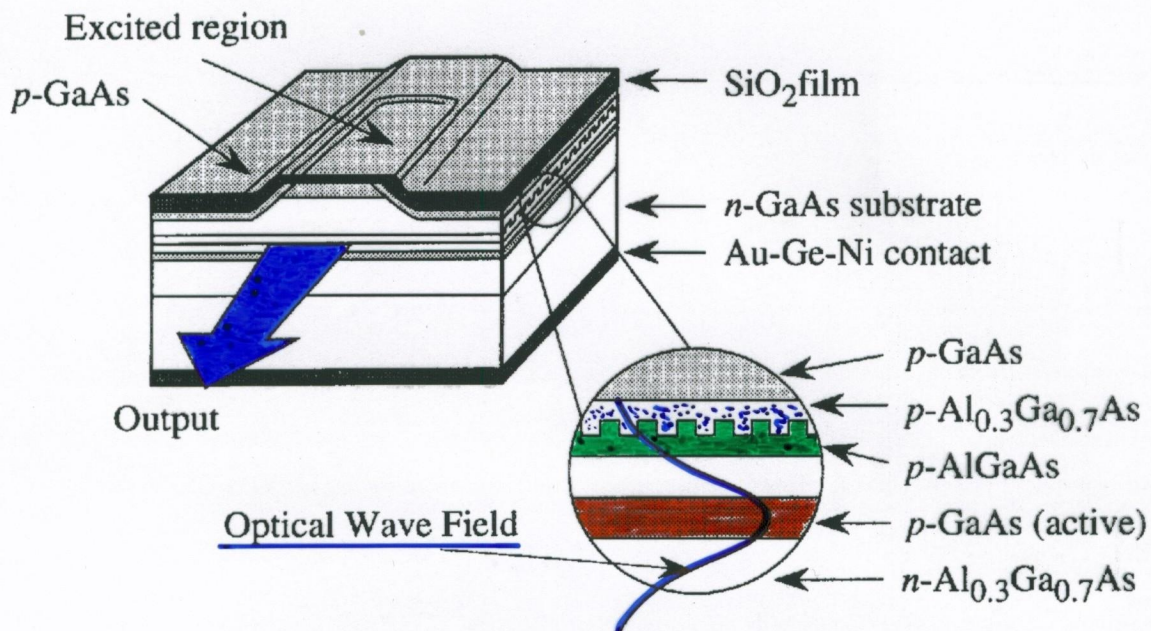
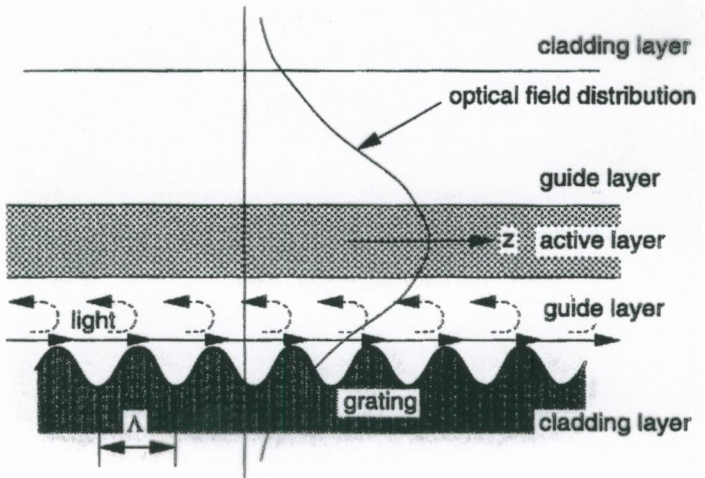


Figure 10.23: The distributed feedback structure incorporates a periodic grating in the laser structure. The confined optical wave senses the periodic grating as shown. (After K. Aiki, *IEEE Journal of Quantum Electronics*, QE-12, 601 (1976).)

Das periodische Gitter im Laser (d.h. in der optischen Führungsschicht (Cladding layer)) filtert nur mehr eine einzige longitudinale Mode heraus, die durch das Gitter bestimmt ist.

Um die mit dem Gitter konturverzerrten longitudinalen Moden zu unterdrücken wird dieser Laser an den Facetten entspiegelt.



Übung

Die Wellengleichung eines optischen Wellenfeldes ist:

(\hat{z} - Ausbreitungsrichtung)

$$\frac{\partial^2 F}{\partial z^2} + k_z^2 \cdot F = 0$$

wobei über dem komplexen Brechungsindex N und dem freien Wellenzektor $k_0 = \frac{2\pi}{\lambda}$ gegeben ist

$$k_z^2 = N^2 \cdot k_0^2$$

Der Realteil des Brechungsindexes hat jetzt einen konstanten Term und einen periodischen Teil

$$u_{rr}(z) = u_{r0} + \sum_G u_G \cdot e^{iG.z}$$

wobei

$$G = \frac{2\pi}{a} \cdot n \quad \dots \text{reziproker Gitterzvektor}$$

a ... Gitterperiode (oder auch Λ)

n ... Ordnung des Gitters (d.h. $G_1 = \frac{2\pi}{a}$; $G_2 = \frac{4\pi}{a}$; ...) $G_n = n \cdot \frac{2\pi}{a}$

Von all diesen Fourier-Koeffizienten für die Entwicklung wird der Term erster Ordnung dominieren u_{G_1} , der zu $G_1 = \frac{2\pi}{a}$ gehört.

Zusätzlich zum Realterm des Brechungsindexes gibt es aufgrund der Verstärkung in der Struktur einen imaginären Anteil des Brechungsindexes:

$$u_{ri}(z) = -\frac{g}{2 \cdot k_0} \quad \text{gain } g$$

$$k_0 = \frac{2\pi}{\lambda_0} =$$

Einsetzen des real und imaginären Anteils in $N = u_r + i \cdot u_i$
und ausmitten von folgender Näherung

$$\left(\frac{u_g}{u_{r0}}\right)^2 \approx 0 \quad \dots$$

$$\left(\frac{g}{2k_0}\right)^2 \approx 0$$

ergibt nach längerer Umformung für die Wellengleichung

$$\boxed{\frac{\partial^2 F}{\partial z^2} + (\beta^2 + i\beta g) \cdot F = -k_0 \cdot \beta \cdot \sum_G u_G e^{iGz} \cdot F}$$

wobei

$$\boxed{\beta := k_0 \cdot u_{r0}} = \boxed{\frac{2\pi}{\lambda_0} \cdot u_{r0}}$$

Für den Fall, dass die rechte Seite 0 ist, d.h. dass keine periodische Änderung des Brechungsindex existiert ergibt sich als Lösung der Wellengleichung eine ebene Welle mit dem Wellenvektor β , dessen Amplitude aufgrund des Gain terms anwächst.

Wegen dieser periodischen Änderung auf der rechten Seite ist jedoch die allgemeine Lösung eine Welle der Form:

$$F(z) = \sum_{\alpha} F_{\alpha 0} \cdot \exp(i\alpha z)$$

wobei $F_{\alpha 0}$ eine sich langsam ändernde Amplitude ist die die sich ausbreitende Welle beschreibt.

Betrachten wir jetzt den interessanten Fall, daß der Wellenvektor β in der Nähe der halben Bragg wellenlänge ist, d.h. (Gitter 1. Ordn.)

$$\beta_B = n \cdot \frac{2\pi \cdot u_{r0}}{\lambda_0} = \frac{\pi}{\Delta} = \beta_0$$

Das Feld in der Bragg zone besteht jetzt aus zwei gegenläufig sich ausbreitenden Wellen mit $\alpha = \beta_B$ und $\alpha = -\beta_B$ sodass

$$F(z) = F_+(z) \cdot \exp(i \beta_B z) + F_-(z) \cdot \exp(-i \beta_B z)$$

Einsetzen dieses Ausdruckes in die Wellengleichung und Vergleichen der Terme mit gleicher Phase liefert zwei gekoppelte Gleichungen

$$\frac{\partial F_+}{\partial z} + \left(\frac{q}{2} - i\delta\right) F_+ = i \cdot K_c \cdot F_-$$

$$-\frac{\partial F_-}{\partial z} + \left(\frac{q}{2} - i\delta\right) F_- = i \cdot K_c \cdot F_+$$

wobei δ die Frequenzverschiebung zur Bragg reflex frequent ist

$$\Delta\beta = \delta = \frac{\beta^2 - \beta_B^2}{2\beta_B} \approx \beta - \beta_B = \frac{u_{r0}}{c} \cdot (\omega - \omega_B)$$

und K_c einen Koppelfaktor für die 1. Ordnung Brechungsindex des periodischen Gitters $u_{G_1} = \Delta u_{r_1}$

$$K_c = \frac{T \cdot \Delta u_{r_1}}{2 \cdot \lambda_0} = \alpha$$

Dieses System der zwei gekoppelten Gleichungen beschreibt nun die Ausbreitung von Wellen in einer DFB-Struktur.

Lösung der gekoppelten Moden (ohne Verstärkung)

Aus Einfachheit bezeichnen wir $\tilde{F}^{(-)} \equiv A$ und $\tilde{F}^{(+)} \equiv B$ dann ergibt sich:

$$\frac{dA}{dz} = \alpha_{ab} \cdot B \cdot e^{-i \cdot 2 \cdot (\Delta\beta) z}$$

$$\frac{dB}{dz} = \alpha_{ab}^* \cdot A \cdot e^{+i \cdot 2 \cdot (\Delta\beta) \cdot z}$$

Für einen Wellenleiter mit einer Korrugationslänge L nehmen an, daß eine Welle der Amplitude $B(0)$ von links in die gestörte Section einfällt.

Mit der Randbedingung $A(L) = 0$ erhält man als Lösung des obigen Gleichungssystems zu:

$$A(z) \cdot e^{i\beta_0 z} = B(0) \frac{i \alpha_{ab} \cdot e^{i\beta_0 z}}{-\Delta\beta \cdot \sinh SL + i \cdot S \cdot \cosh SL} \cdot \sinh [S(z-L)]$$

$$B(z) \cdot e^{-i\beta_0 z} = B(0) \frac{e^{-i\beta_0 z}}{-\Delta\beta \cdot \sinh SL + i \cdot S \cdot \cosh SL} \cdot$$

$$\cdot \{ \Delta\beta \cdot \sinh [S(z-L)] + i \cdot S \cdot \cosh [S(z-L)] \}$$

mit

$$S = \sqrt{\alpha^2 - (\Delta\beta)^2}$$

$$\alpha = |\alpha_{ab}|$$

$$\alpha_{ab} = -\alpha_{ab}^*$$

Unter der Phasenanpassungsbedingung $\Delta\beta = 0$ ergibt sich

$$A(z) = B(0) \cdot \frac{\alpha_{ab}}{\alpha} \frac{\sinh [\alpha(z-L)]}{\cosh \alpha L}$$

$$B(z) = B(0) \cdot \frac{\cosh [\alpha(z-L)]}{\cosh \alpha L}$$

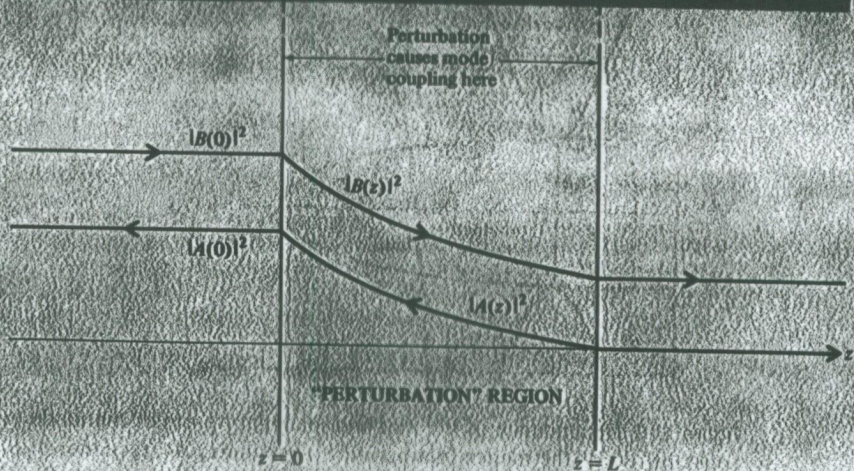
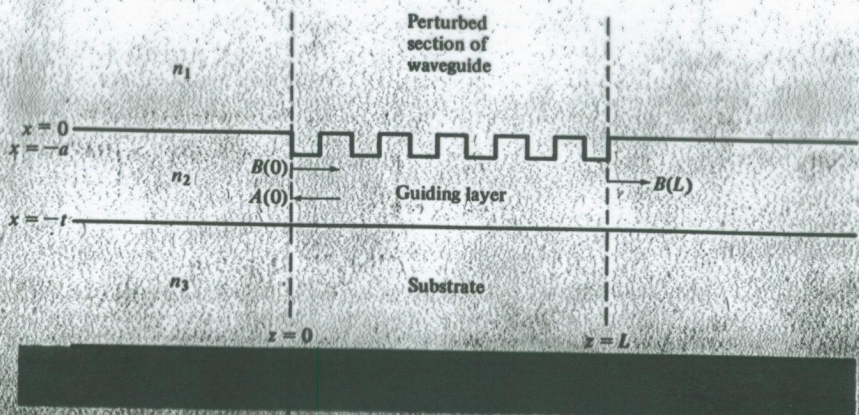


Figure 13-7. (upper) A corrugated section of a dielectric waveguide. **(lower)** The incident and reflected intensities inside the corrugated section.

Die Leistung der einfallenden Welle fällt entlang des gestörten Bereichs ab. Dies Verhalten erfolgt jedoch nicht durch Absorption sondern durch Reflexion der Leistung in die sich rückwärts wandelnde Welle A.

Der z -abhängige Teil der Lösung der Welle in dem periodischen Wellenleiter ist exponentiell mit einer Ausbreitungs konstante

$$\beta' = \beta_0 \pm iS = \frac{c \cdot \pi}{\Delta} \pm i \cdot \sqrt{\alpha^2 - [\beta(\omega) - \beta_0]^2}$$

mit

$$\Delta\beta = \beta - \beta_0$$

$$\beta_0 = \frac{\pi \cdot \ell}{\Delta}$$

ℓ ... Gitterordnung

Für den Bereich in der Nähe der Braggfrequenz ist $\Delta\beta(\omega) < \alpha$, sodass β' imaginär wird. Dies ist die sogenannte "verbotene" Zone, ähnlich wie bei der Bandlücke im Halbleiter. Mit der Näherung $\beta(\omega) \approx \frac{\omega}{c} \cdot n_{\text{eff}}$ und in der Nähe der Braggwelle $\frac{\pi \ell}{\Delta}$ ergibt sich

$$\beta' \approx \frac{c \cdot \pi}{\Delta} \pm i \left[\alpha^2 - \left(\frac{n_{\text{eff}}}{c} \right)^2 (\omega - \omega_0)^2 \right]^{1/2}$$

Eine kurze Selektion eines Korngrenzenwellenleiters wirkt deshalb als hoch reflektierender Spiegel für Frequenzen in der Nähe der Braggfrequenz ω_0 . Für die

Transmission

$$T_{\text{eff}} = \left| \frac{\mathcal{B}(L)}{\mathcal{B}(0)} \right|^2 \quad \text{und für die}$$

Reflexion

$$R_{\text{eff}} = \left| \frac{\mathcal{B}(0)}{\mathcal{B}(L)} \right|^2$$

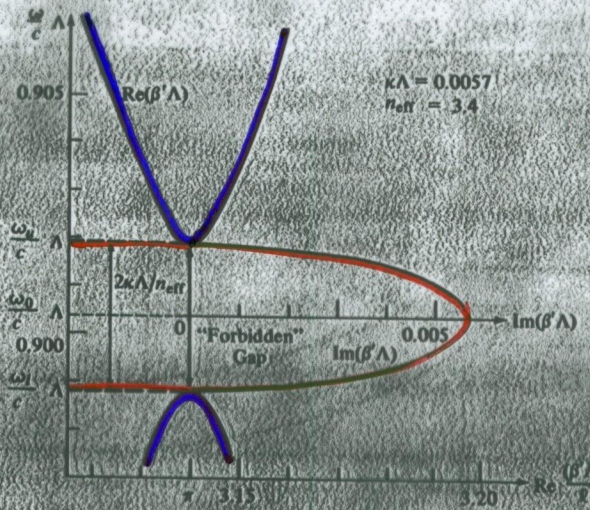


Figure 13-8 Dependence of the real and imaginary parts of the mode propagation constant, β' , of the modes in a periodic waveguide. At frequencies $\omega_0 < \omega < \omega_1$, $\text{Im}(\beta') \neq 0$ and the modes are evanescent. At these frequencies, $\text{Re } \beta' = l\pi/\Lambda$.

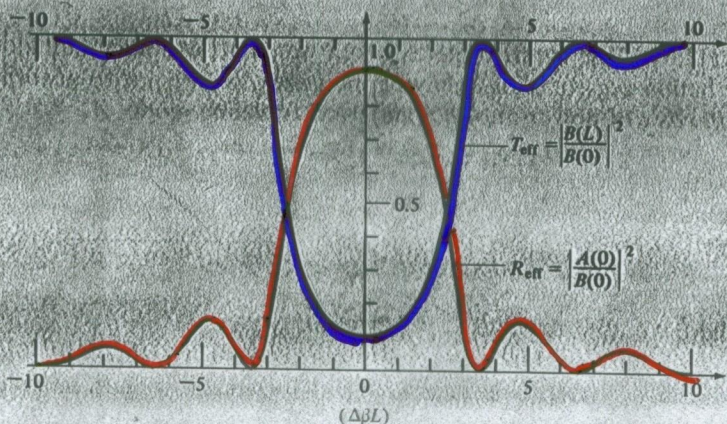


Figure 13-9 Transmission and reflection characteristics of a corrugated section of length L , as a function of the detuning $\Delta\beta L \approx [(\omega - \omega_0)L/c]n_{\text{eff}}$ ($\kappa L = 1.84$).

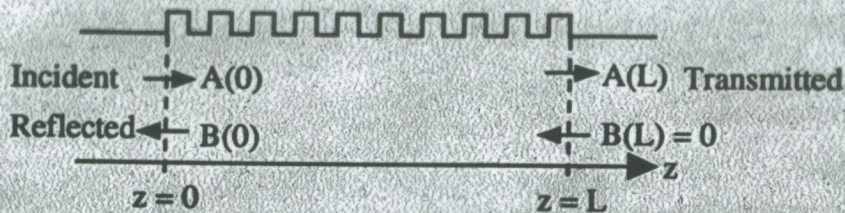


Figure 8.25. A periodic corrugated waveguide structure with an incident wave at $z = 0$. $A(0)$ is the field amplitude of the incident wave and $B(0)$ is the field amplitude of the reflected wave. $A(L)$ is the field amplitude of the transmitted wave and $B(L) = 0$ since we assume no wave is incident from the right-hand side.

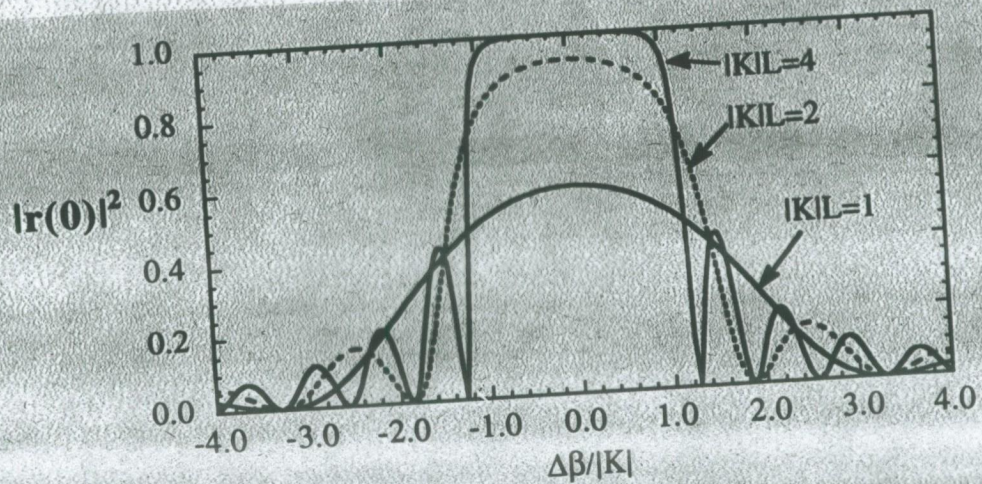
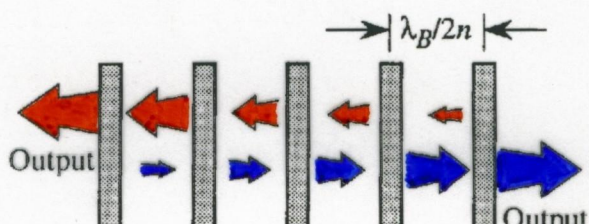
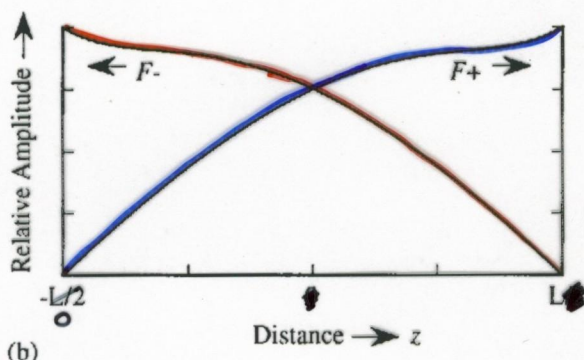


Figure 8.26. A plot of the reflectivity $|r(0)|^2$ vs. the ratio $\Delta\beta/|K|$ for three different values of $|KL|$. For a large value of $|KL|$, the bandwidth for $\Delta\beta$ is about $2|K|$.

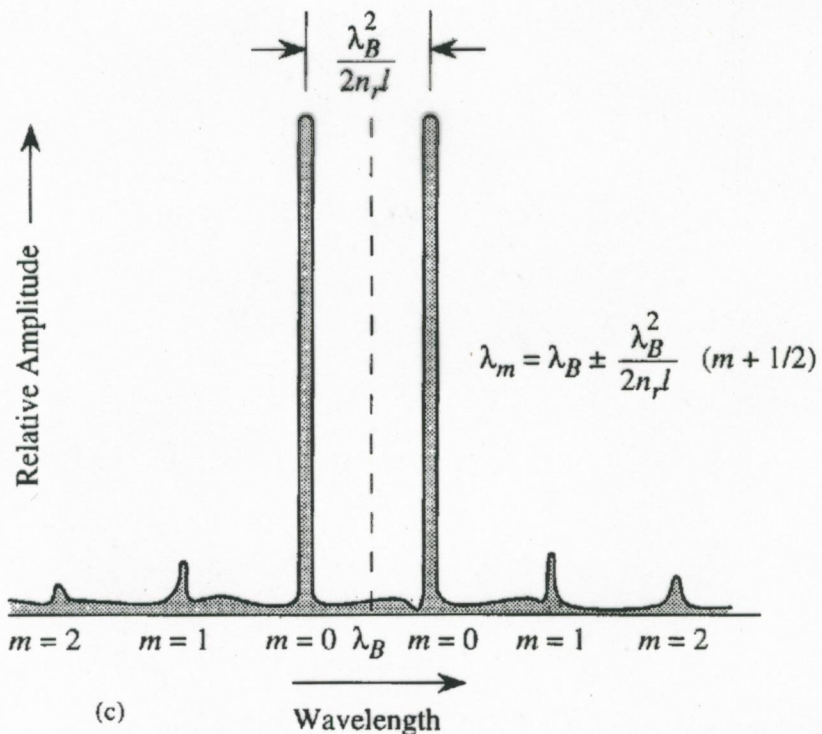
$$\Delta = \frac{\lambda_B}{2n_r}$$



(a)



(b)



(c)

Figure 10.24: (a) Illustration of laser oscillation in a periodic structure; (b) field amplitudes of a left-traveling wave F_- and a right-traveling wave F_+ versus distance; and (c) optical output versus wavelength for a DFB laser.

geführte Wellenleiter Laser

Bis jetzt hatten wir nur eine passiven Wellenleiter betrachtet. Besitzt das führende Medium jedoch Verstärkung müssen die Gleichung durch zusätzliche Verstärkungssterne ergänzt werden. $A(z)$ und $B(z)$ entsprechen dabei exponentiell anwachsende Wellen entlang der $-z$ und $+z$ Richtung auch wenn $\alpha=0$ ist. Das System wird damit

$$\frac{dA}{dz} = \alpha_{ab} \cdot B \cdot e^{-i2(\delta\beta)z} - \mu A$$

$$\frac{dB}{dz} = \alpha_{ab}^* \cdot A \cdot e^{i2(\delta\beta)z} + \mu B$$

wobei α wiederum die Koppelkonstante und μ die exponentielle Gain konstante für die Amplitude ist.

Mit

$$A(z) = A'(z) \cdot e^{-\mu z}$$

$$B(z) = B'(z) \cdot e^{\mu z}$$

und obige Gleichung zu

$$\frac{dA'}{dz} = \alpha_{ab} \cdot B' \cdot e^{-i2(\delta\beta+i\mu)z}$$

$$\frac{dB'}{dz} = \alpha_{ab}^* \cdot A' \cdot e^{+i2(\delta\beta+i\mu)z}$$

die mit der früheren Gleichung identisch ist wenn

$$\delta\beta \rightarrow \delta\beta + i\mu$$

Mit dieser Substitution erhält man sofort die Lösung für die einfallende Welle

$$E_i = B'(z) \cdot \exp [(-i\beta + \mu)z]$$

und die reflektierte Welle

$$E_r = A(z) \cdot e^{i\beta z} = A'(z) \cdot e^{(i\beta - \gamma)z}$$

N zu v. ein:

innerhalb einer Sektion der Länge L für den Fall einer einzigen Mode der Amplitude $B(0)$ die bei $=z=0$ in die geforderte Sektion einfällt.

$$E_i(z) = B(0) \frac{e^{-i\beta_0 z} \{ (\gamma - i\alpha\beta) \sinh [S(L-z)] - S \cosh [S(L-z)] \}}{(\gamma - i\alpha\beta) \sinh SL - S \cosh SL}$$

$$E_r(0) = B(0) \frac{\alpha_{ab} \cdot e^{i\beta_0 z} \cdot \sinh [S(L-z)]}{(\gamma - i\alpha\beta) \sinh SL - S \cosh SL}$$

wobei

$$S^2 = \alpha^2 + (\gamma - i\alpha\beta)^2$$

Die Tatsache, dass S jetzt komplex ist ergibt einen qualitativen Unterschied zwischen einer passiven periodischen Sektion und einer periodischen Wellenunterstruktur mit gern.

Betrachten wir einmal den Fall wenn die Bedingung

$$(\gamma - i\alpha\beta) \sinh SL = S \cosh SL$$

Schwellbedingung

erfüllt ist. In diesem Fall wird sowohl die Reflexion

$$r = \frac{E_r(0)}{E_i(0)} \quad \text{als auch die Transmission } t = \frac{E_i(L)}{E_i(0)}$$

für die Amplitude unendlich. Das Bauelement wirkt damit wie ein Oszillator. \Rightarrow Schwellbedingung für DFB

Für den Fall $\gamma=0$ ergibt sich das

$$|t| = \left| \frac{E_i(L)}{E_i(0)} \right| < 1 \quad \text{und} \quad |r| = \left| \frac{E_r(0)}{E_i(0)} \right| < 1 \quad \text{wie für}$$

ein passives Bauelement zu erwarten ist.

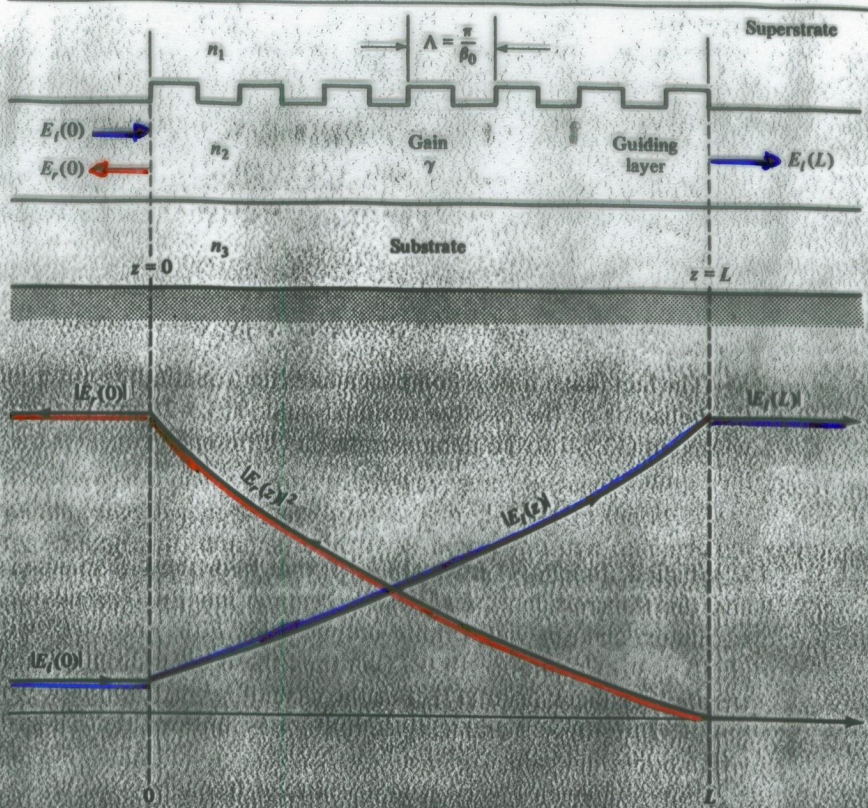


Figure 13-11 Incident and reflected fields inside an amplifying periodic waveguide.

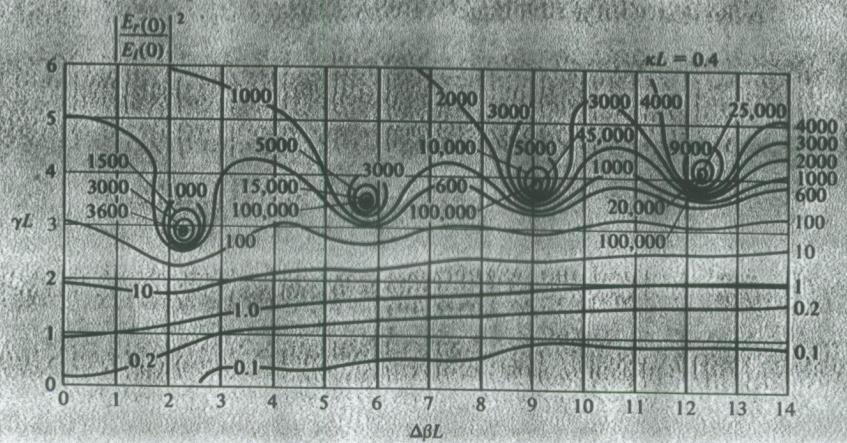


Figure 13-12 Reflection gain contours in the $\Delta\beta L - \gamma L$ plane. $\Delta\beta$ is defined following (13.6-9) and is proportional to the deviation of the frequency ω from the Bragg value $\omega_0 = \pi c / \Lambda n$.

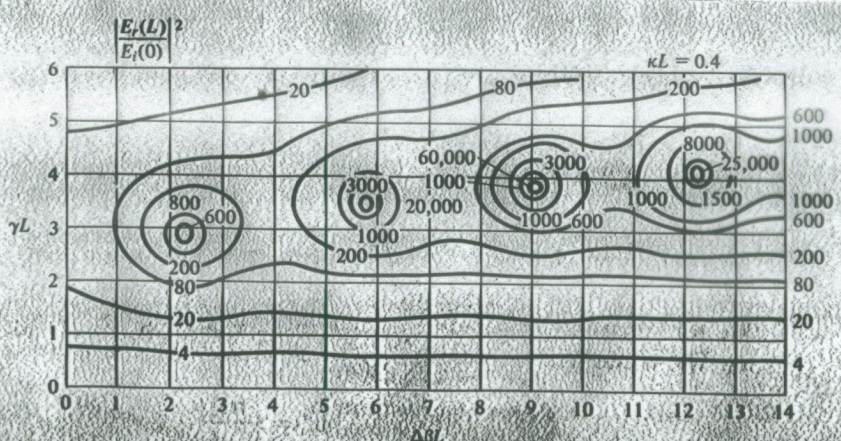


Figure 13-13 Transmission gain contours in the $\Delta\beta L - \gamma L$ plane.

Berechnung der Reflexions- und Transmissionskurve eines DFB-Lasers.

Dies erfolgt mit komplexen Zahlen nach der Coupled Wave Theory:

Im folgenden werden die Werte von

$$\lambda_{\text{Bragg}} := 1533.00$$

Braggwellenlänge in [nm]
(1nm=10^-7cm)

$$n_{\text{gr}} := 3.27$$

Gruppenindex

$$k := 0, 1.. 200$$

Laufindex für Wellenlänge

$$\lambda_k := \lambda_{\text{Bragg}} + 0.1 \cdot (k - 100)$$

Definition des Wellenlängenbereichs +/- 10nm

$$\Delta\beta_k := 2 \cdot \pi \cdot n_{\text{gr}} \cdot \left(\frac{1}{\lambda_k} - \frac{1}{\lambda_{\text{Bragg}}} \right) \cdot 10^7$$

Verstimmung von der Braggbedingung

$$L := 400 \cdot 10^{-4}$$

DFB-länge in [\mu m]

$$\kappa := 80$$

Kopplungskoeffizient in [cm^-1]

$$L \cdot \kappa = 3.2$$

$$\beta_0 := 2 \cdot \pi \frac{n_{\text{gr}}}{\lambda_{\text{Bragg}}} \cdot 10^7$$

Braggwellenzahl

$$\beta_0 \cdot L = 5.361 \cdot 10^3$$

$$\text{gain} := \begin{bmatrix} 0 \\ 5 \\ 10 \\ 14 \\ 20 \end{bmatrix}$$

Gain des DFB-lasers in [cm^-1]

$$j := 0, 1.. 4$$

Laufindex für Gainwerte

$$g_j := \frac{\text{gain}_j}{2} = \textcolor{blue}{s}$$

Gain für Feldstärke

$$\gamma_{k,j} := \sqrt{\kappa^2 + (g_j - i \cdot \Delta\beta_k)^2} \quad \textcolor{red}{s}$$

Berechnung des Reflexionskoeffizienten R=|E_r(0)/E_i(0)|^2:

$$R_{k,j} := \left[\left| \frac{\kappa \cdot \sinh(\gamma_{k,j} \cdot L)}{(g_j - i \cdot \Delta\beta_k) \cdot \sinh(\gamma_{k,j} \cdot L) - \gamma_{k,j} \cdot \cosh(\gamma_{k,j} \cdot L)} \right|^2 \right]$$

Berechnung des Transmissionskoeffizienten T=|E_i(L)/E_i(0)|^2:

$$T_{k,j} := \left[\left| \frac{-\gamma_{k,j} \cdot e^{-i \cdot \beta_0 \cdot L}}{(g_j - i \cdot \Delta\beta_k) \cdot \sinh(\gamma_{k,j} \cdot L) - \gamma_{k,j} \cdot \cosh(\gamma_{k,j} \cdot L)} \right|^2 \right]$$

Berechne die Feldstärke E

$$E_{k,j} := \sqrt{R_{k,j}}$$

Reflexionskoeffizient in linearer Skala (gain = 0):

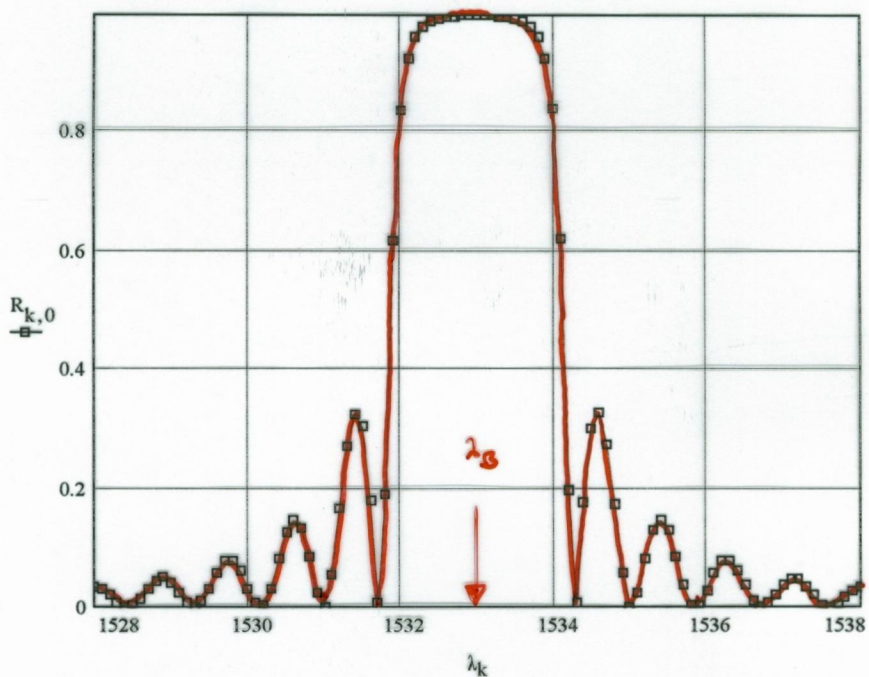
$$\lambda_B = 1533 \mu\text{m}$$

$$n_{\text{gr}} = 3.27$$

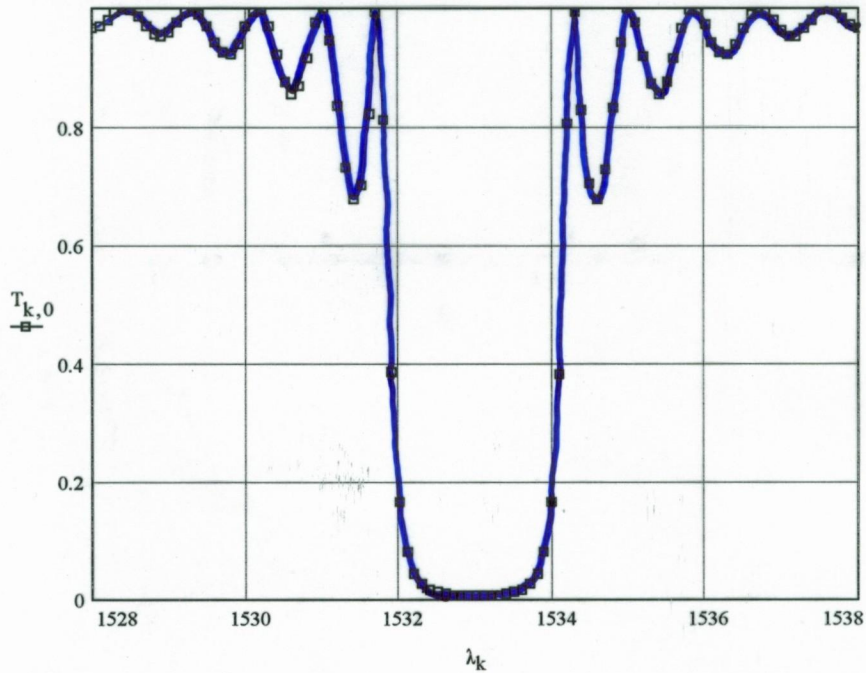
$$L = 400 \mu\text{m}$$

$$\alpha = 80 \text{ cm}^{-1}$$

$$\alpha L = 3.2$$



Transmissionskoeffizient in linearer Skala (gain = 0):



Darstellung der reflektierten Feldstärke als Funktion der Wellenlänge für die verschiedenen Gainwerte 0, 5, 14, 20

verbaler Bereich $\hat{=}$ stop band

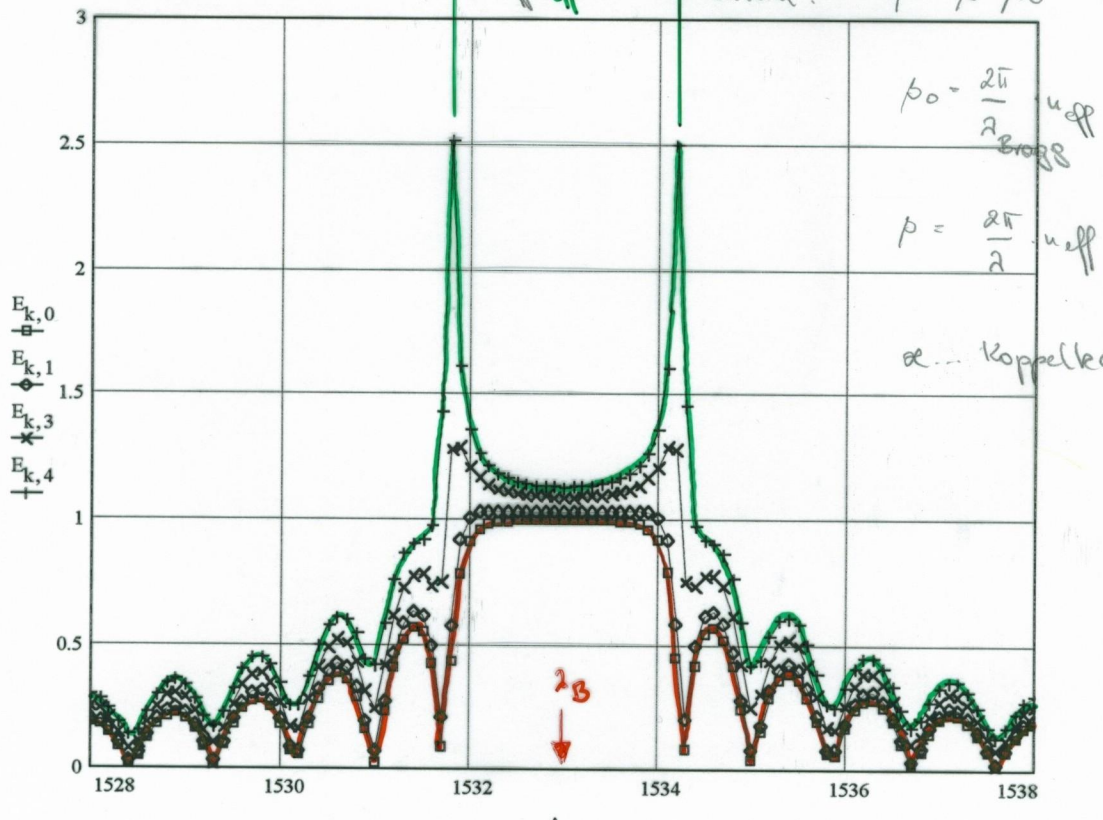
$$1 \times \Delta$$

Differenz der Wellenzahl: $\Delta p = p - p_0 =$

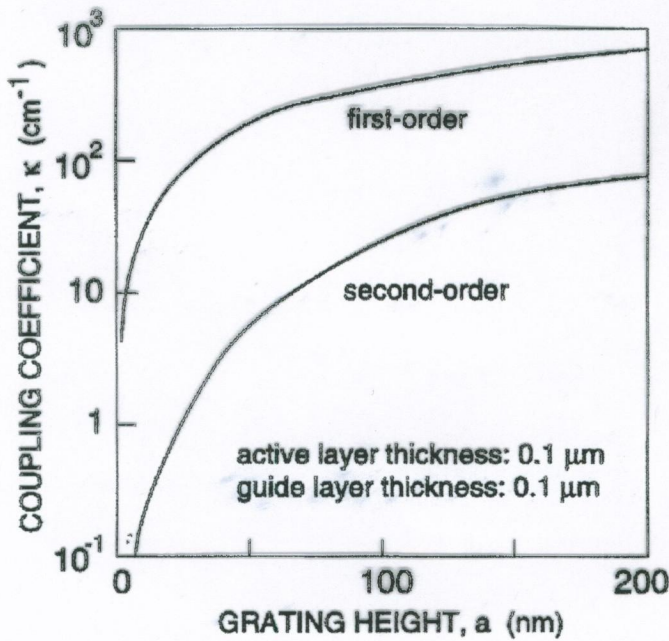
$$p_0 = \frac{2\pi}{\lambda_{\text{Bragg}}} u_{\text{eff}}$$

$$p = \frac{2\pi}{\lambda} u_{\text{eff}}$$

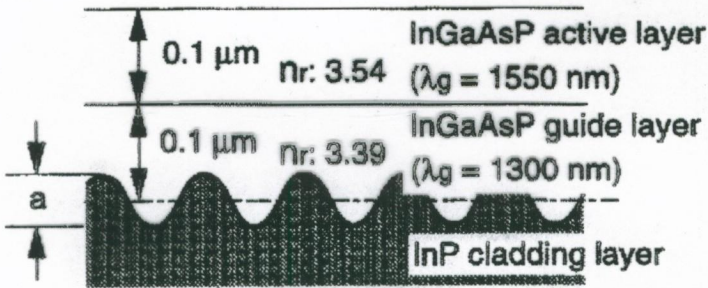
$\alpha \dots$ Koppelkonstante



- gain = 0
- ◊ gain = 5
- ✗ gain = 14
- gain = 20



nr: 3.17 InP cladding layer



Schwellwertsbedingung für DFB-Laser

Wir haben gesehen, daß bei der Bedingung

$$(\mu - i\Delta\beta) \sinh SL = S \cdot \cosh SL$$

sowohl r als auch t unendlich werden. Diese Bedingung umgeformt werden zu

$$\boxed{\frac{S - (\mu - i\Delta\beta)}{S + (\mu - i\Delta\beta)} \cdot e^{2SL} = -1}$$

In Allgemeinen muß jetzt numerisch nach einem Schwellwert für $\Delta\beta$ und μ gesucht werden.

Für den Fall, daß $\alpha \gg \omega$ kann für die Definition

$$S^2 = \omega^2 + (\mu - i\Delta\beta)^2$$

$$\Rightarrow S \approx -(\mu - i\Delta\beta) \cdot \left(1 + \frac{\omega^2}{2 \cdot (\mu - i\Delta\beta)^2}\right)$$

sodass

$$S - (\mu - i\Delta\beta) \approx -2(\mu - i\Delta\beta)$$

$$S + (\mu - i\Delta\beta) \approx \frac{-\omega^2}{2 \cdot (\mu - i\Delta\beta)}$$

und obige Gleichung wird

$$\boxed{\frac{4(\mu - i\Delta\beta)^2}{\omega^2} \cdot e^{2SL} = -1}$$

Gleichsetzen der Phasen ergibt

$$2 \cdot \arctan\left(\frac{\Delta\beta_m}{\mu_m}\right) - 2 \cdot (\Delta\beta)_m \cdot L + \frac{(\Delta\beta)_m L \cdot \omega^2}{\omega_m^2 + (\Delta\beta)_m^2} = (2m+1) \cdot \pi$$

$$m = 0, \pm 1, \pm 2, \dots$$

Für den Grenzfall $\gamma_m \gg \delta p_m, x$ ergeben sich die Schwingungsmoden zu

$$(\delta p_m) \cdot L \approx -\left(m + \frac{1}{2}\right)\pi$$

und da

$$\Delta p = p - p_0 \approx (\omega - \omega_0) \cdot \frac{u_{\text{eff}}}{c}$$

$$\boxed{\omega_m = \omega_0 - \left(m + \frac{1}{2}\right) \cdot \frac{\pi c}{u_{\text{eff}} \cdot L}}$$

Wir erkennen, daß keine Oszillation exakt bei der Braggfrequenz stattfindet. Die Modenauflösung ergibt sich zu

$$\boxed{\omega_{m+1} - \omega_m \approx \frac{\pi c}{u_{\text{eff}} \cdot L}}$$

Aus der Modenauflösung kann damit bei bekannter Länge L der effektive Brechungsindex bestimmt werden.

Der Schwellwert γ_m der Mode m kann von der Amplitudenbedingung erhalten werden

$$\boxed{\frac{e^{2\gamma_m L}}{\gamma_m^2 + (\delta p_m)^2} = \frac{4}{x^2}}$$

Dies beweist, daß mit zunehmender Modenzahl in der Schwellwert zunimmt, d.h. höhere Moden werden stärker unterdrückt.

Moden mit gleichem $(\omega - \omega_0)$ bzw (Δp) haben denselben Schwellwert der Verstärkung

\Rightarrow zwei Moden mit dem niedrigsten Schwellwert

\Rightarrow Phasenschieberegion einbauen

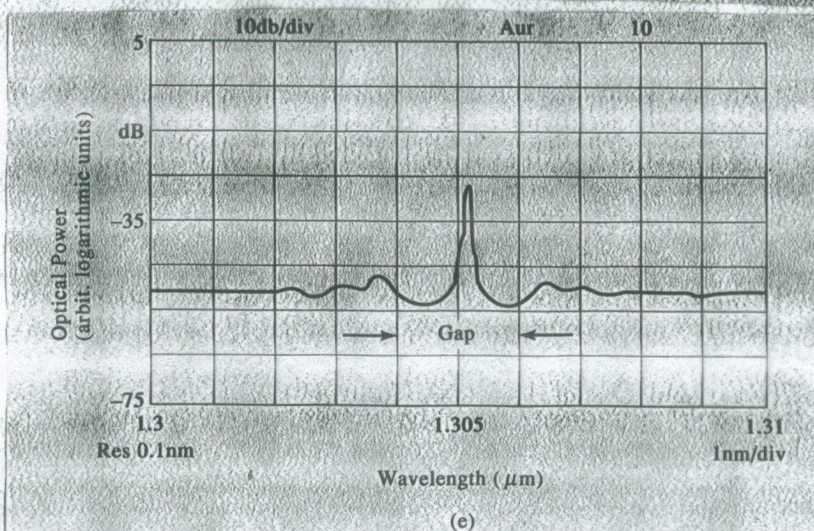
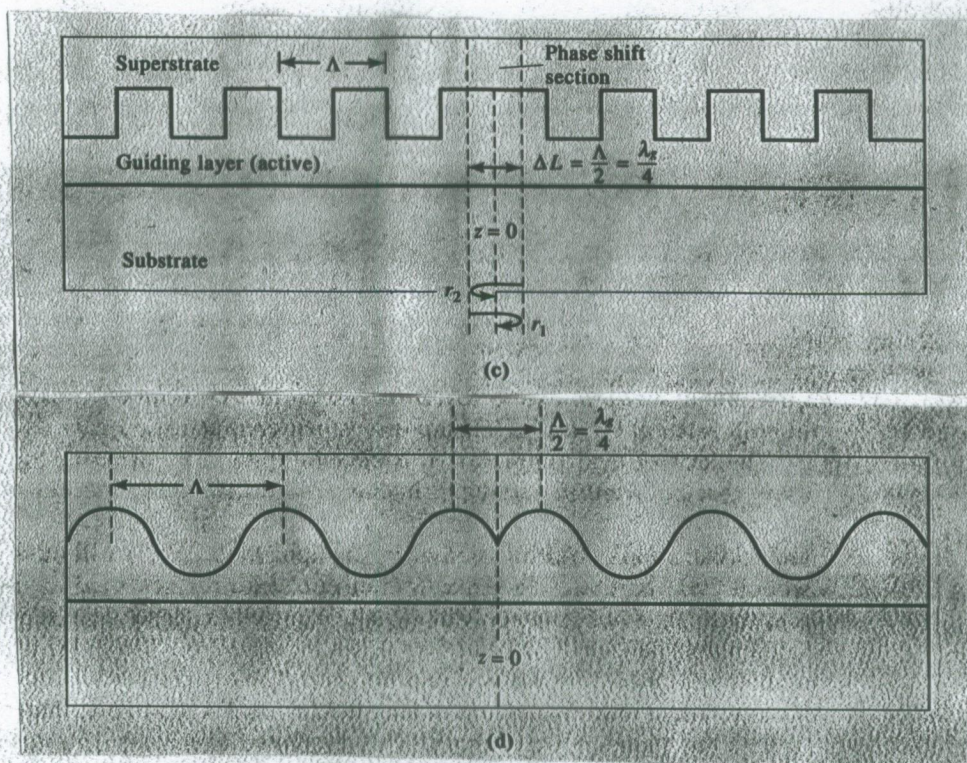
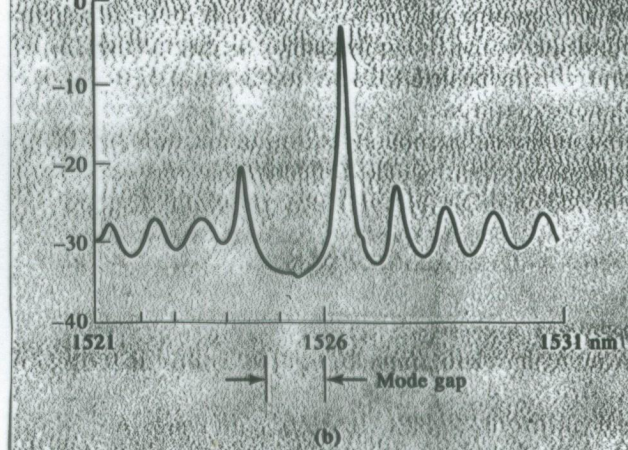
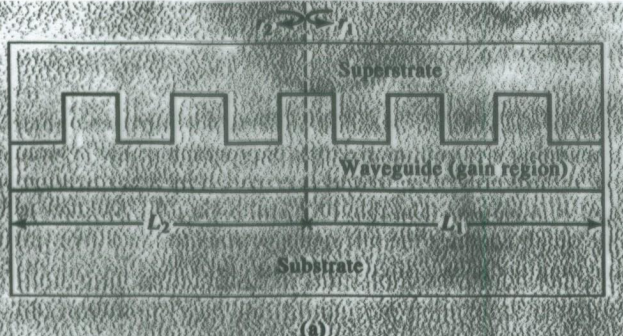
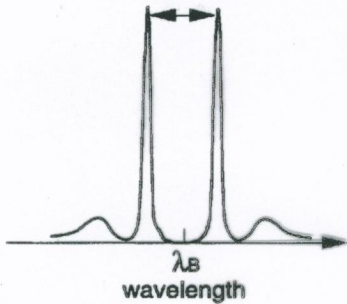


Figure 13-15 A periodic waveguide model used to derive Equation (13.6-26). (a) A periodic (DFB) waveguide laser. (b) The spontaneous emission spectrum below, but near, threshold of a DFB laser showing the mode gap. (c) A DFB laser with a phase shift section. (d) A "quarter wavelength shifted" DFB laser. (e) The spontaneous emission spectrum below threshold of a $\lambda/4$ -shifted DFB laser. (Courtesy of P. C. Chen, ORTEL Corporation)

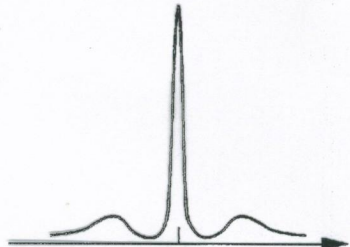
stop band



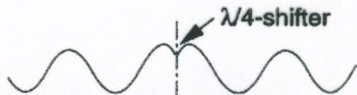
λ_B
wavelength



uniform grating



λ_B
wavelength



grating with $\lambda/4$ phase shifter

Distributed Bragg Reflector (DBR)

Figure 10.39. A schematic diagram for a distributed feedback (DFB) semiconductor laser, where a periodic grating structure above the active region provides the optical distributed feedback process.

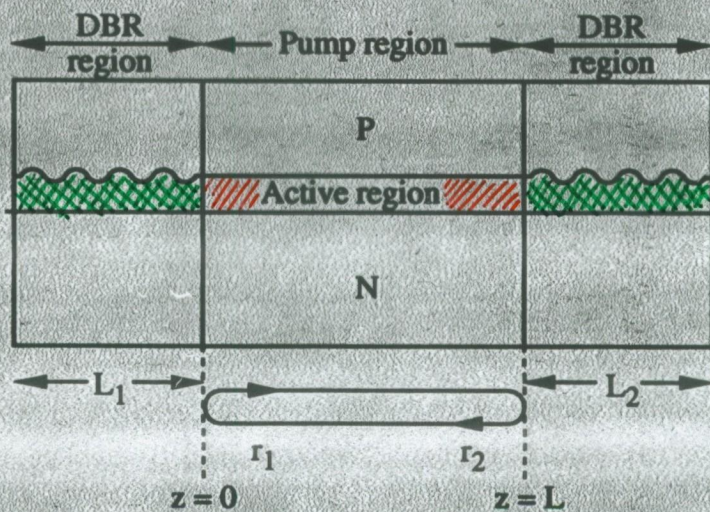
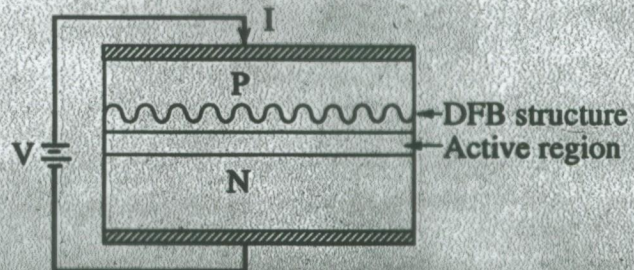


Figure 10.40. Schematic diagram of a distributed Bragg reflector (DBR) semiconductor laser.

$$r_{1,z} = |r_{1,z}| \cdot e^{i\phi_{1,z}} = \frac{-\alpha \cdot \sinh SL_{1,z}}{\Delta\beta \cdot \sinh SL_{1,z} + i \cdot s \cdot \cosh SL_{1,z}}$$

.... für Amplitude
(Feldstärke)

$$R_{1,z} = r_{1,z} r_{1,z}^* = |r_{1,z}|^2 \dots \text{für Intensität}$$

$$s = \sqrt{\alpha^2 - \Delta\beta^2}$$

$r \rightarrow c_0 \cdot r \dots$ effektive Kopplungsbaoffit
($c_0 \leq 1$)

Schwellwertsbedingung: (DBR)

$$\Gamma \cdot g_{th} = \alpha + \frac{1}{2L} \cdot \ln \frac{1}{R_1 R_2 c_0^2}$$

analog wie FP

Oberflächenemittierende Laser

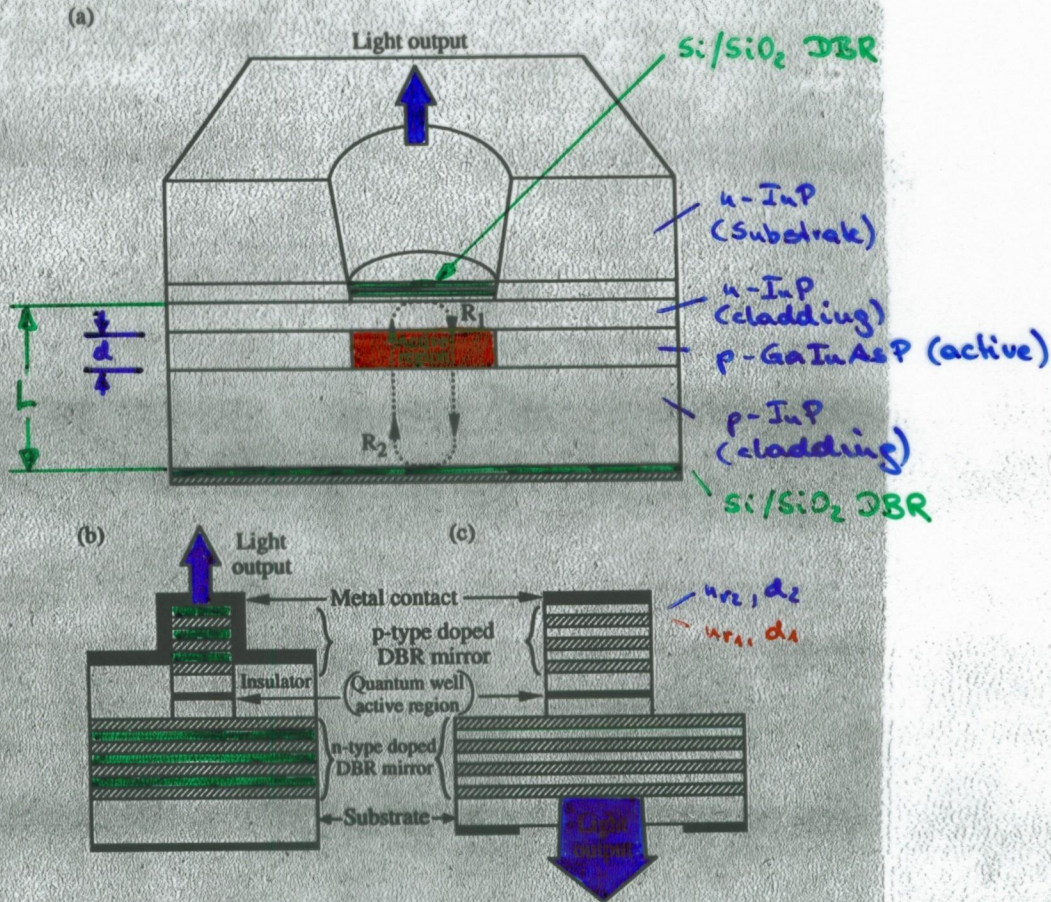
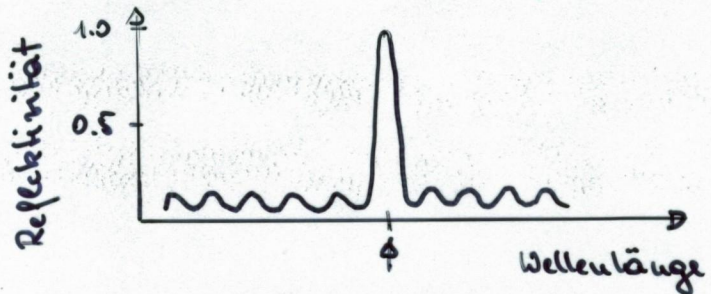


Figure 10.41. (a) Schematic diagram of a surface-emitting laser [147]. (b) Front and (c) back surface-emitting lasers using etching through the active region [142].

$$u_{r_2} \cdot d_2 = u_{r_1} \cdot d_1 = \frac{\lambda}{4}$$



$$\lambda = 2 \times \text{opt. Periodizität}$$

$$2 = 2 \cdot (u_{r_1} \cdot d_1 + u_{r_2} \cdot d_2)$$

Schnellwerts Bedingung:

$$T \cdot g = \alpha + \frac{1}{2L} \cdot \ln \left(\frac{1}{R_1 \cdot R_2} \right)$$

T ist Confinementfaktor sowohl für lang. als auch transversale Mod

$$T = (\gamma \cdot \frac{d}{L}) \cdot \xi$$

γ long. opt. Conf.

ξ trans. opt. Conf.

Cleaved Coupled Cavity (C^3) - Laser

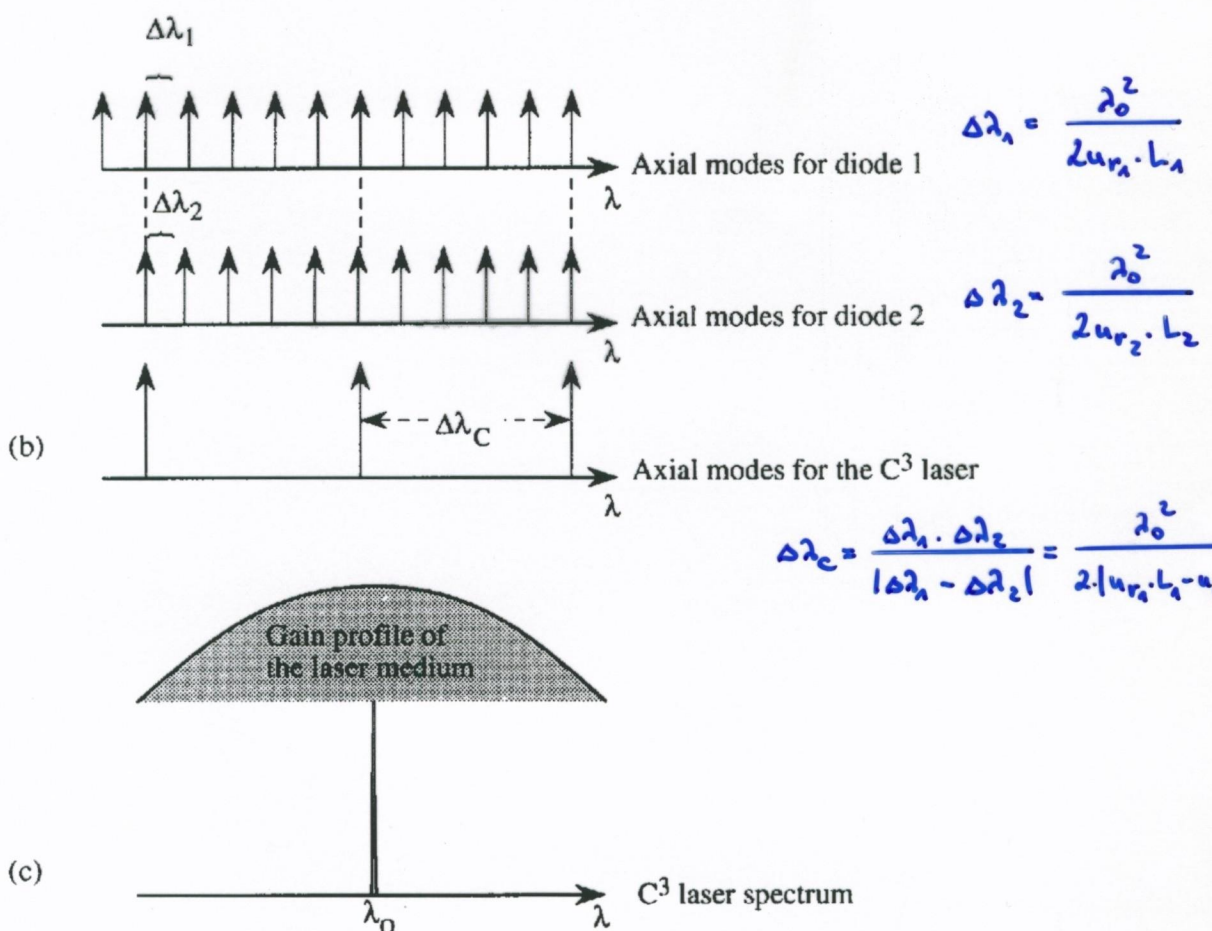
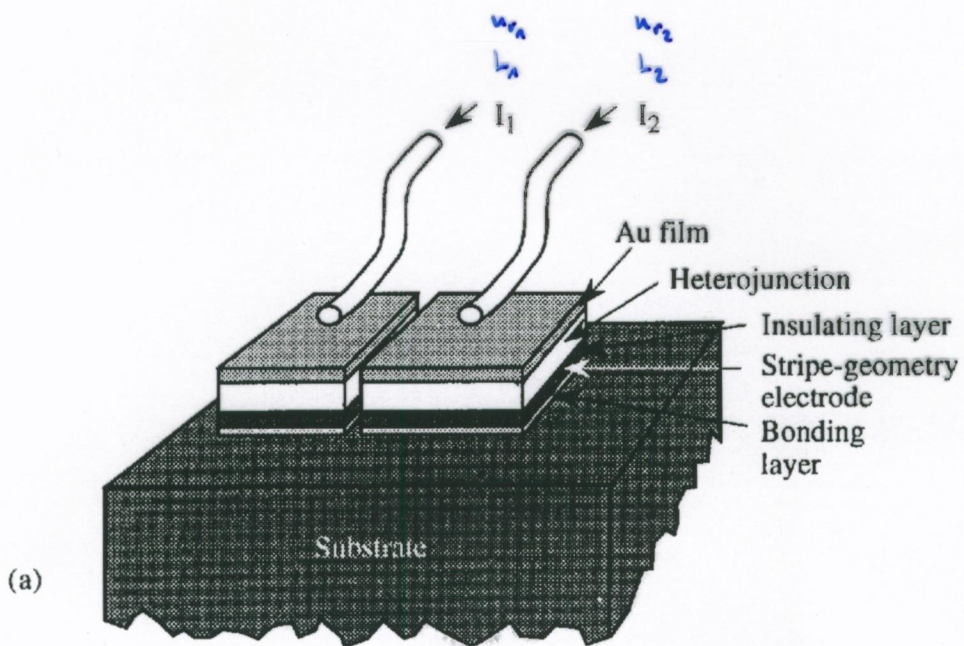


Figure 10.27: (a) A schematic of the C^3 laser. (b) The longitudinal modes of the two diodes and the output spectrum of the laser.

Durchstrahlbarkeit $\sim 15 \mu\text{m}$

Temperaturabhängigkeit der Laserausgangsleistung

→ Wie bei LED's ist die Temperaturabhängigkeit der Laserdiode für die meisten Anwendungen von besonderer Bedeutung

a) Einfluss der Temperatur auf den Schwellstrom und die optische Intensität

b) Einfluss der Temperatur auf die Emissionswellenlänge

ad a) Mit Erhöhung der Temperatur erhöht sich der Schwellstrom bei einer vorgegebenen Injektionsdichte (und die Photowarenausgangsleistung nimmt ab).

Dafür gibt es 3 Gründe:

a) f_e und f_h schwärzen aus (verbreitern sich) -

→ $f_e + f_h > 1$ erfordert eine höhere Injektion Ladungsträger dichte

⇒ erhöht Schwellstrom

(Effekt ist bei allen Halbleiterlasers)

b) Höhere Temperatur → Ausbreiten der Elektronen und Löcher in höherenergetische Zustände → Ein größerer Anteil der injizierten Ladungsträger kann über den aktiver Bereich darüberströmen

⇒ leakage

c) höhere Temperatur → höhere Energie der Ladungsträger

⇒ erhöhte Augerrekombination

⇒ I_{th} nimmt exponentiell mit T zu

als Resultat empirisch:

$$I_{th}(T) = I_{th}^0 \cdot \exp\left(\frac{T}{T_0}\right)$$

große T_0 sind erwünscht.

z.B. GaAs: $T_0 \approx 120\text{K}$

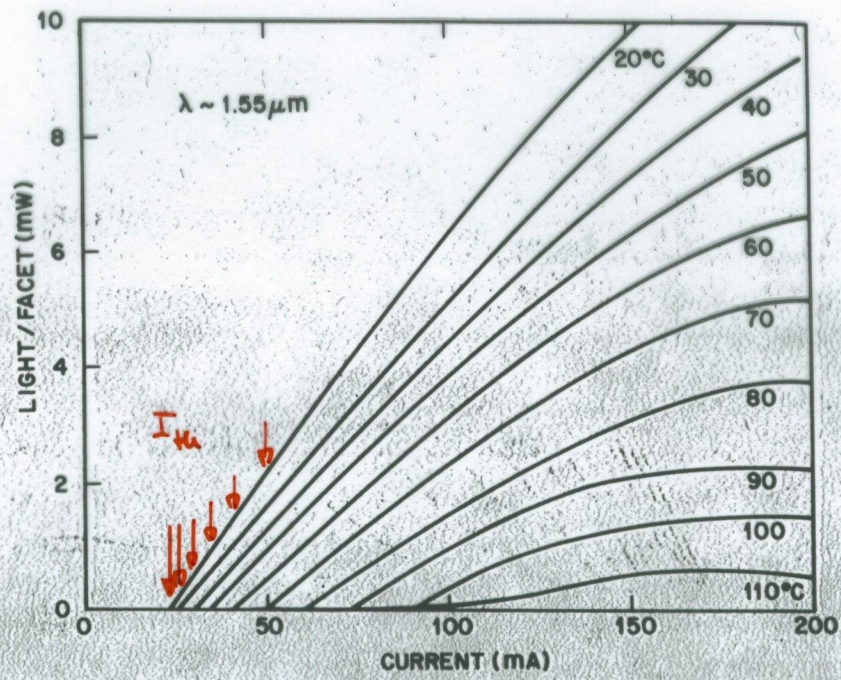


Fig. 5.26 L-I characteristics of a 1.55- μm InGaAsP DCPBH laser at different temperatures.
(After Ref. 59)

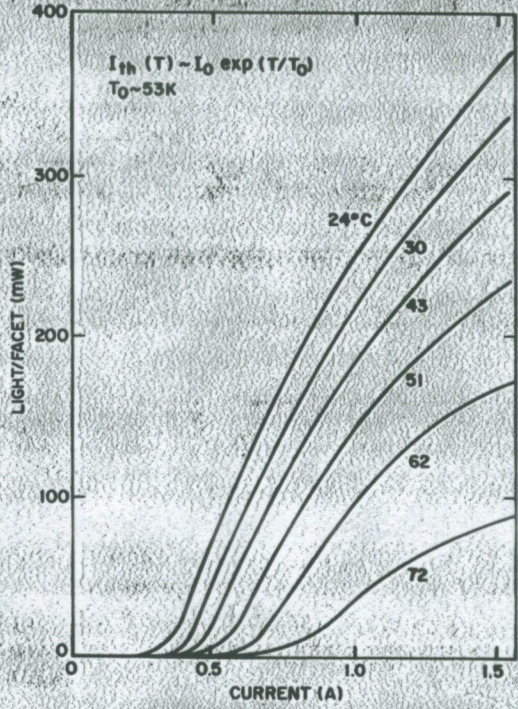
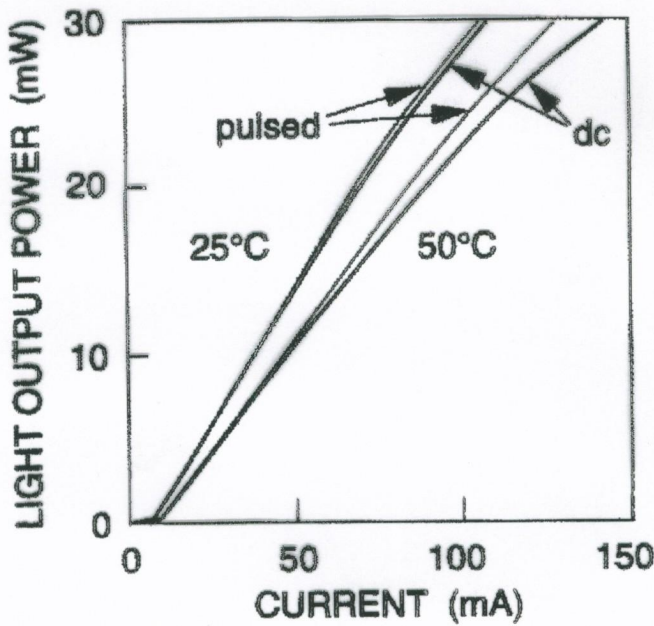


Fig. 5.37 L-I characteristics at several temperatures for a gain-guided 1.3- μm InGaAsP laser array.

$$I_{th}(T) \approx I_0 \cdot \exp\left(\frac{T}{T_0}\right)$$

großes T_0 erwünscht



Temperaturverhalten

$$S_{\text{in}}(T) = S_{\text{in}}^0 \cdot \exp\left(\frac{T}{T_0}\right)$$

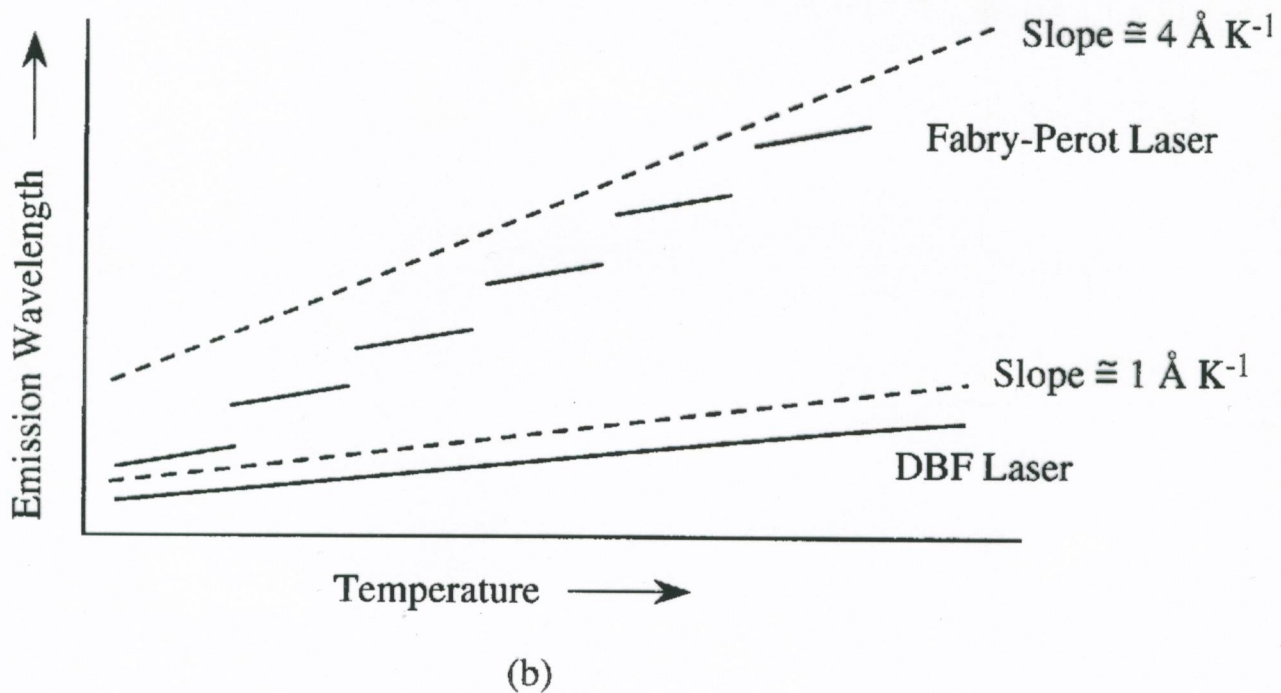
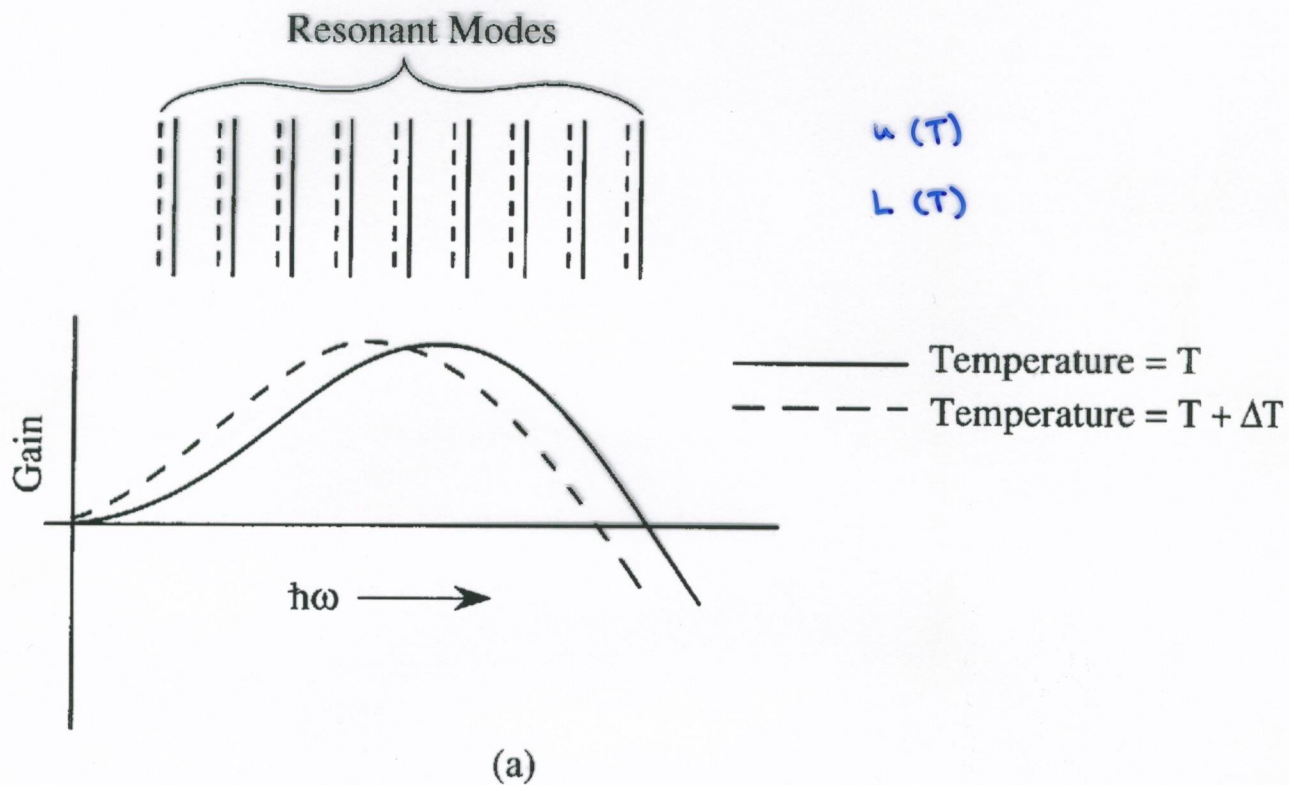


Figure 10.29: (a) The shift of the gain spectra and the resonant modes of a cavity with temperature. (b) Shift in the emission wavelength of a laser with temperature.

Halbleiter-Laserdioden: Dynamische Eigenschaften

Bis jetzt hatten wir nur die statischen Eigenschaften betrachtet. Für Signalübertragung ist jedoch wichtig wie schnell man ein Signal verändern kann (bzw. der zeitliche Response eines Bauteils)

- a) Was begrenzt die Laser responsezeit für Groß- und Kleinsignalmodulation?
- b) Was bestimmt die Frequenzbreite der Laseremission unter Modulation?

1) Modulationsformen (siehe Folie)

a) Großsignalmodulation

Laser wird so geschaltet, dass er tatsächlich "aus" und "ein" geschaltet wird (extrem langsam $\sim 10\text{ }\mu\text{s}$, analog wie LED)

b) Kleinsignalmodulation

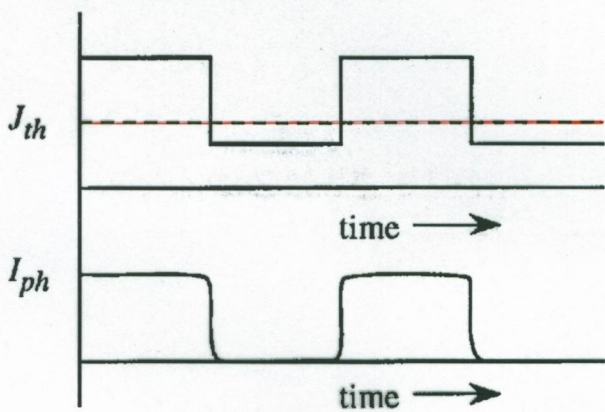
Der Laser wird überhalb des Schwellstroms mit einem kleinen AC-Signal moduliert. Damit sind die höchsten Frequenzresponser möglich (bis zu 50 GHz). Seifst Information über die fundamentalen Grenzen des Lasers.

c) Puls Code Modulation (PCM)

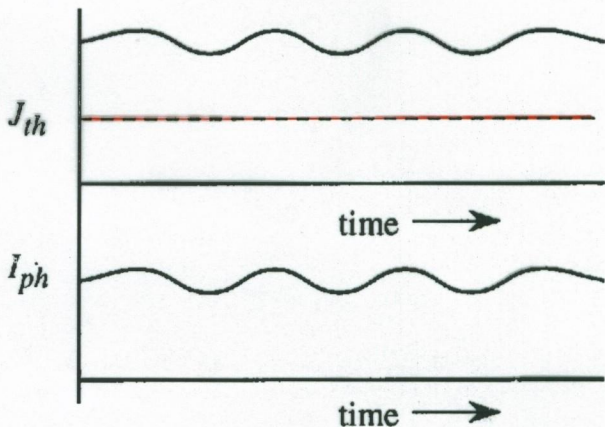
Digitale Pulsfolge wobei der Laser immer überhalb des Schwellstroms betrieben wird. (d.h. auch im "low" Zustand sendet Laser immer noch Licht). In PCM modulationsfrequenzen bis einigen 10 GHz möglich.

\Rightarrow Wichtigste Form für Optische Datenübertragung

Large signal modulation



Small signal modulation



Pulse code modulation

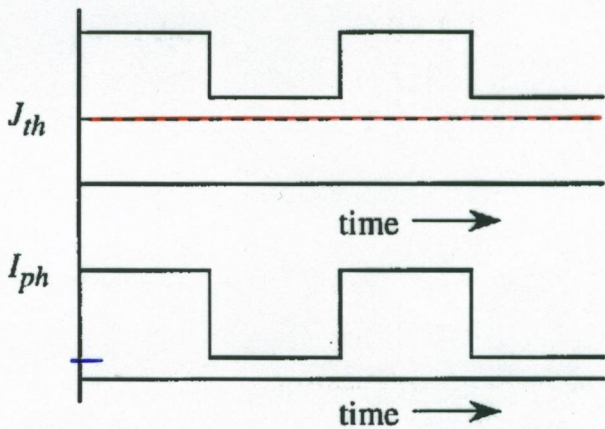
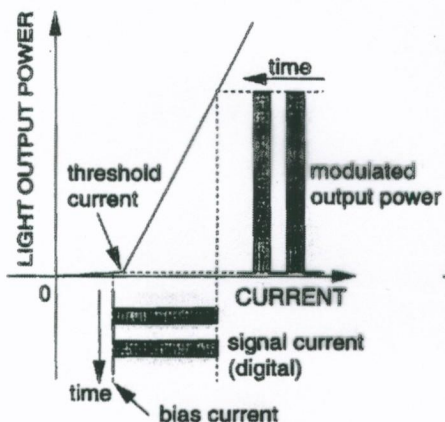
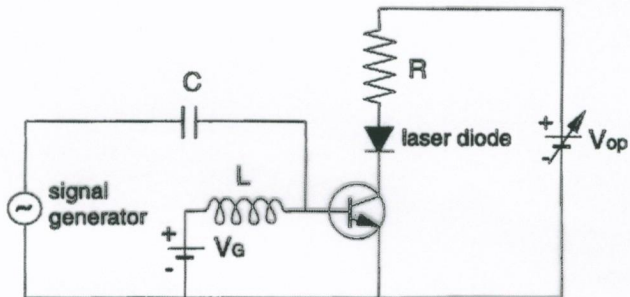
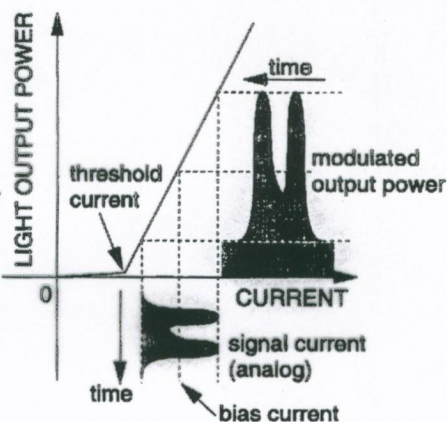


Figure 8.8: Three different modulation approaches used for direct modulation of lasers



(a) digital modulation



(b) analog modulation

2.) Grenzen für die Laserdynamik

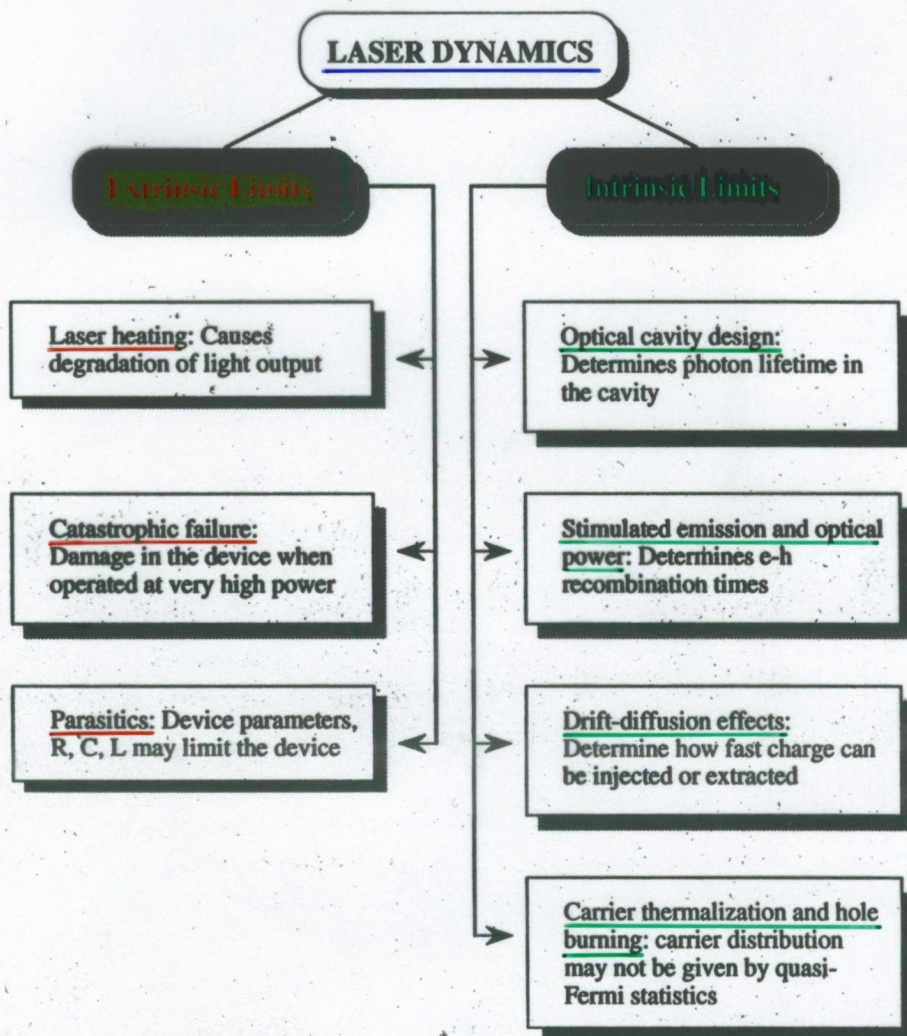


Figure 11.2: Extrinsic and intrinsic factors limiting the temporal response of semiconductor lasers.

3.) Großsignal schalten eines Lasers

Beim "Großsignal"-Einschalten eines Lasers wird der Strom durch den Faser von einem Wert unterhalb des Schwellstroms zu einem Wert oberhalb des Schwellstroms gehalten.

Was passiert physikalisch:

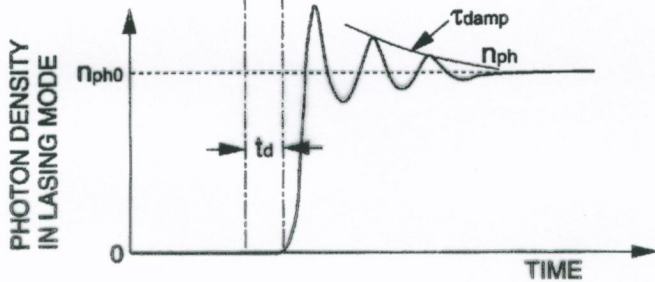
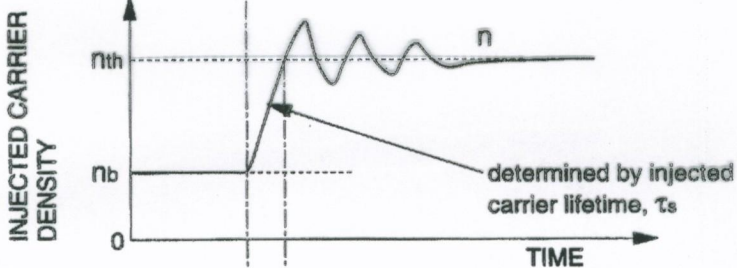
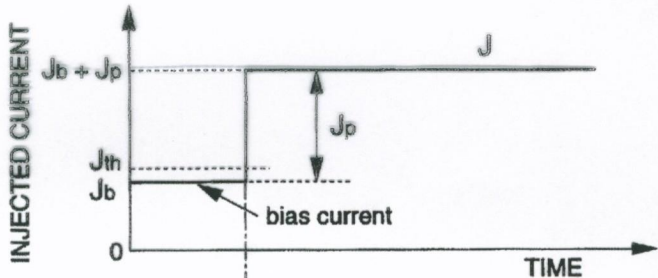
Vor dem Strompuls ist die Ladungsträgerdichte in der aktiven Zone des Lasers so gut wie Null. Beim Einschalten des Pulses erhöht sich die Ladungsträgerdichte, womit sich der Gain im Bauelement beginnt zu erhöhen. Ist jedoch der Gain kleiner als die Resonatorverluste, emittieren nur sehr wenige Photonen aus dem Laser.

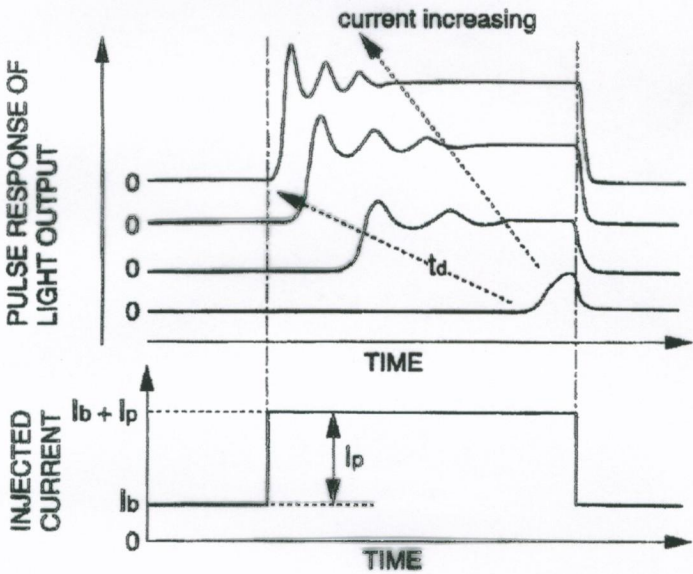
\Rightarrow Für eine Zeit t_{dl} (delay time) emittieren deshalb keine Photonen aus dem Bauelement. Erreicht die Ladungsträgerdichte n_{ph} beginnt die stimulierten Emissionen. Die Ladungsträgerkonzentration überschreitet jedoch den Wert n_{ph} sodass die Photonenintensität über dem Gleichgewichtswert ist. Die hohe Photonenrichte reduziert jetzt aber die Ladungsträgerdichte durch e-h Rekombination.

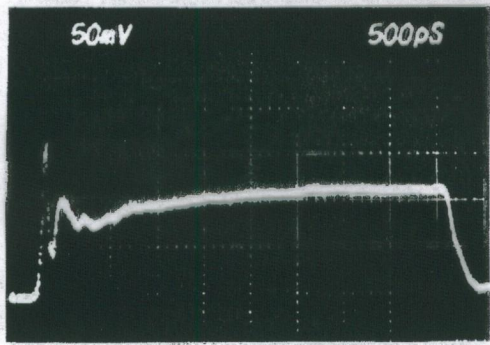
\Rightarrow Oszillationen werden in der Ladungsträgerdichte und dem Photenausput produziert.

\Rightarrow Isg. 10.21 (Ebeling Seite 336)

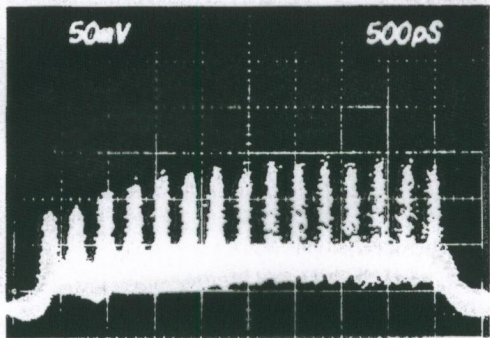
Das zeitliche Verhalten dieses Einschaltvorgangs kann jetzt durch eine einfache Raten-Gleichung beschrieben werden.



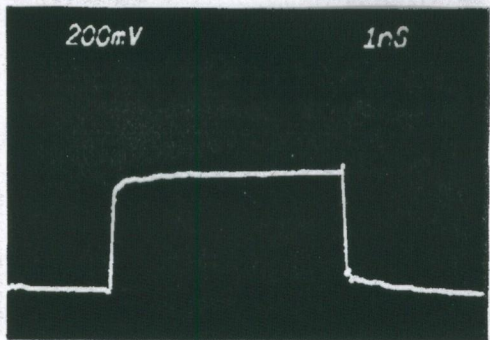




(a) relaxation oscillation

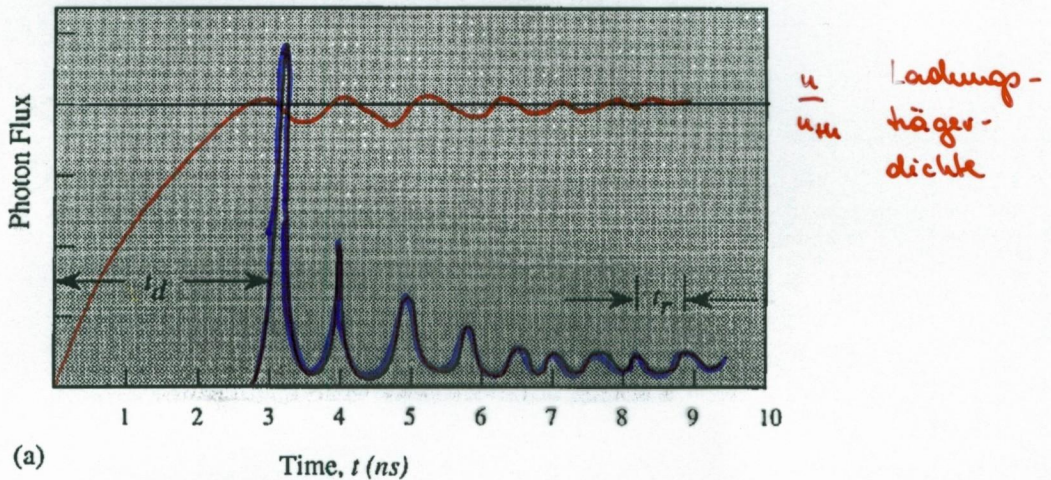


(b) pulsation



(c) input current

Einschaltvorgang:



Kleinsignalmodulation

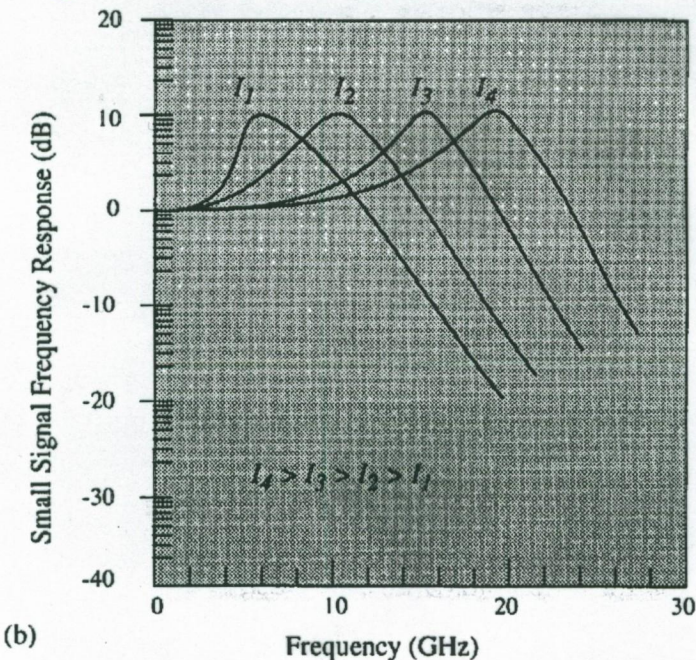


Figure 8.9: (a) The temporal response of light output from a laser for large signal switching from below threshold to above threshold. The response is characterized by a delay time t_d and relaxation oscillations. The large delay time causes serious limitations in many laser applications. (b) A typical frequency response for a semiconductor laser being operated at a current level well above the threshold current. Unlike the LED, the laser response is not limited by the spontaneous recombination time of electrons and holes. The small signal response improves as the laser is pumped at higher powers.

Ratenegleichung (Gesamt signal - Emissionschaltung)

$$\frac{du_{2D}}{dt} = \frac{j}{e} - \frac{u_{2D}}{\tau} - R_{stim}$$

mit τ ... totale Rekombinationszeit

Wird die Stromdichte von 0 auf J geändert, so wieviel so lange $u_{2D} < u_{2D}(\text{th})$ ist keine Photonen in dem Resonator zur stim. Rekomb. bestrahlt $R_{stim} \approx 0$.

Integration dieser Gleichung von $t=0$ bis $t=t_f$, und $u_{2D} = u_{2D}(i)$ bis $u_{2D}(f)$ erhalten wir

$$t_f = \tau \cdot \ln \left(\frac{\frac{J - \frac{e \cdot u_{2D}(i)}{\tau}}{J - \frac{e \cdot u_{2D}(f)}{\tau}}}{\frac{J - \frac{e \cdot u_{2D}(i)}{\tau}}{J - \frac{e \cdot u_{2D}(f)}{\tau}}} \right)$$

Die Photondichte verändert sich wenn $u_{2D}(f) = u_{2D}(\text{th})$ ist.

Deshalb, ist die Verzögerungszeit t_d (delay time) (wobei $u_{2D}(i)=0$)

$$\begin{aligned} t_d &= \tau \cdot \ln \left(\frac{J}{J - \frac{e \cdot u_{2D}(\text{th})}{\tau}} \right) \\ &= \tau \cdot \ln \left(\frac{J}{J - J_{\text{th}}} \right) \end{aligned}$$

Die Zeit τ ist der Wert unterhalb des Schwell aufgrund der strahlenden und nichtstrahlenden Prozesse. Sind die n.r. prozesse vernachlässigbar, dann ist $\tau = \tau_r \Rightarrow$ die Verzögerung ist einige us τ .

Messung von $t_d \Rightarrow J$ liefert damit τ !

Oszillationsfrequenz \rightarrow siehe Klein signal modulation

4.) Kleinsignalmodulation

Die Kleinsignalmodulation eines Lasers ist zu einem Schlüsselkennzahl für die Laser performance geworden. Obwohl diese Signalmodulation selten für tatsächliche Übertragungssysteme verwendet wird liefert sie wichtige Einsichten in die Physik des Lasers und wie das Laserdesign verbessert werden kann.

Bei der Kleinsignalmodulation wird der Laser bei hohen Injektionsströmen dem ein kleiner Zeitabhängiges Stromsignal überlagert ist, betrieben. Der wichtigste Punkt ist dabei die Transferfunktion (Übertragungsfunktion) zwischen dem Strom und dem Lichtausput.

Für das Verständnis der Antwort eines Lasers auf ein kleines elektrisches Signal der Kreisfrequenz ω betrachten wir die Rategleichung sowohl für die Photonen als auch die Ladungsträgerdichten für die Mode m.

$$\begin{aligned}\frac{ds_m}{dt} &= [T \cdot g(u_{2D}, E_m) - \alpha_c] \cdot \frac{c}{\nu_r} \cdot S_m + \beta \cdot R_{sp}(u_{2D}) \\ \frac{du_{2D}}{dt} &= \frac{\beta}{c} - \frac{I_{avg}}{e} - R_{sp}(u_{2D}) - \frac{c}{\nu_r} \sum_m T \cdot g(u_{2D}, E_m) \cdot S_m\end{aligned}$$

In dieser Gleichung wurde explizit der Augerstrom I_a (stellt auch für jeden nichtstrahlenden Beitrag) inkludiert. Für erste wird $I_a = 0$ gesetzt.

In der Kleinsignaltheorie legen wir folgendes Stromsignal an:

$$S = \bar{S} + \tilde{S} \cdot \exp(i\omega t) = \bar{S} + \Delta S \quad \text{wobei } \frac{\tilde{S}}{\bar{S}} \ll 1$$

dies verursacht eine Änderung der Ladungsträger- u. Photondichte

$$u_{2D} = \bar{u}_{2D} + \tilde{u}_{2D} \cdot \exp(i\omega t) = \bar{u}_{2D} + \Delta u_{2D}$$

$$S_m = \bar{S}_m + \tilde{S}_m \cdot \exp(i\omega t) = \bar{S}_m + \Delta \tilde{S}_m$$

weiter nehmen wir an, daß die Verstärkung und die spontane Emissionsrate linearisiert betrachtet werden können (Taylor-Reihe 1. Ordnung)

$$g(\bar{u}_{2D} + \Delta u_{2D}, E_m) \approx g(\bar{u}_{2D}, E_m) + \frac{\partial g(\bar{u}_{2D}, E_m)}{\partial u_{2D}} \cdot \Delta u_{2D}$$

$$R_{sp}(\bar{u}_{2D} + \Delta u_{2D}) \approx R_{sp}(\bar{u}_{2D}) + \frac{\partial R_{sp}(\bar{u}_{2D})}{\partial u_{2D}} \cdot \Delta u_{2D}$$

In erster Näherung kann da der Laser meistens bei hohen Strömen betrieben wird angenommen werden, daß die Hauptmode dominiert und daß somit nur eine Mode in Betracht zu bringen ist.

Einsetzen der Kleinsignalvariation in die Rateigleichung und Beibehaltung von nur den 1. Ordnungstermen im Kleinsignal liefert

$$\tilde{S} \cdot \left[i\omega - T \cdot g \cdot \frac{c}{u_r} + \alpha_c \cdot \frac{c}{u_r} \right] = \bar{u}_{2D} \cdot \left[T \cdot \frac{\partial g}{\partial u_{2D}} \cdot \frac{c}{u_r} \cdot \tilde{S} + \beta \frac{\partial R_{sp}(\bar{u}_{2D})}{\partial u_{2D}} \right]$$

$$\bar{u}_{2D} \cdot \left[i\omega + \frac{\partial R_{sp}(\bar{u}_{2D})}{\partial u_{2D}} + \frac{c}{u_r} \cdot T \cdot \frac{\partial g}{\partial u_{2D}} \cdot \tilde{S} \right] = \frac{\tilde{J}}{e} - \frac{c}{u_r} \cdot T \cdot g \cdot \tilde{S}$$

Eliminieren von \bar{u}_{2D} liefert den Zusammenhang zwischen dem Photonenignal \tilde{S} und dem Stromsignal \tilde{J}

$$\tilde{S} \cdot \left[T \cdot \frac{c \cdot g(\bar{u}_{2D})}{u_r} + \underbrace{i\omega + \xi}_{\xi} \cdot \left\{ i\omega - T \cdot g(\bar{u}_{2D}, E_p) - \alpha_c \right\} \cdot \frac{c}{u_r} \right] = \frac{\tilde{J}}{e}$$

Wobei $\xi = \frac{\partial R_{sp}(\bar{u}_{2D})}{\partial u_{2D}} + \frac{T \cdot c}{u_r} \cdot \frac{\partial g(\bar{u}_{2D}, E_p)}{\partial u_{2D}} \cdot \tilde{S}$

$$\xi = \beta \cdot \frac{\partial R_{sp}(\bar{u}_{2D})}{\partial u_{2D}} + \frac{T \cdot c}{u_r} \cdot \frac{\partial g(\bar{u}_{2D}, E_p)}{\partial u_{2D}} \cdot \tilde{S}$$

Wir wissen auch, daß für die Photonen Lebensdauer τ_{ph}

$$\tau_{ph} = -\frac{1}{T \cdot \frac{c}{u_r} \cdot g(\bar{u}_{2D})} = \frac{u_r}{\alpha_c \cdot c}$$

gilt:

Der laser response ist durch die Übertragungsfunktion welche \tilde{S} zu \tilde{J} in Beziehung setzt gegeben.

Daraus erhalten damit

$$\frac{\tilde{S}}{\tilde{J}} = R(\omega) = \frac{\omega_r^2}{(\omega_r^2 - \omega^2) + i\omega\gamma}$$

wobei:

$$\omega_r^2 = \frac{\beta}{\tau_{ph}} \cdot \frac{\partial R_{sp}(\bar{u}_{2D})}{\partial u_{2D}} + \frac{cT\bar{S}}{\omega_r \tau_{ph}} \cdot \frac{\partial g(\bar{u}_{2D})}{\partial u_{2D}}$$

Bei kleinen Strömen wo Stimmlernt Emission dominiert, wird die Resonanzfrequenz gegeben durch

$$f_r = \frac{\omega_r}{2\pi} = \frac{1}{2\pi} \sqrt{\frac{cT\bar{S}}{\omega_r \tau_{ph}} \cdot \frac{\partial g(\bar{u}_{2D})}{\partial u_{2D}}}$$

Der Term γ ist eine Dämpfungsrate und kann durch f_r und τ_{ph} ausgedrückt werden

$$\gamma = \frac{\partial R_{sp}(\bar{u}_{2D})}{\partial u_{2D}} + \omega_r^2 \tau_{ph}$$

Der allgemeine Response eines lasers ist in Folie (Fig. 15-19) zu sehen. Die Responsefunktion hat eine Signalspitze bei ω_r (oder f_r) und die Größe der Resonanzspitze ist

$$\frac{R(\omega_r)}{R(0)} = \frac{\omega_r}{\gamma}$$

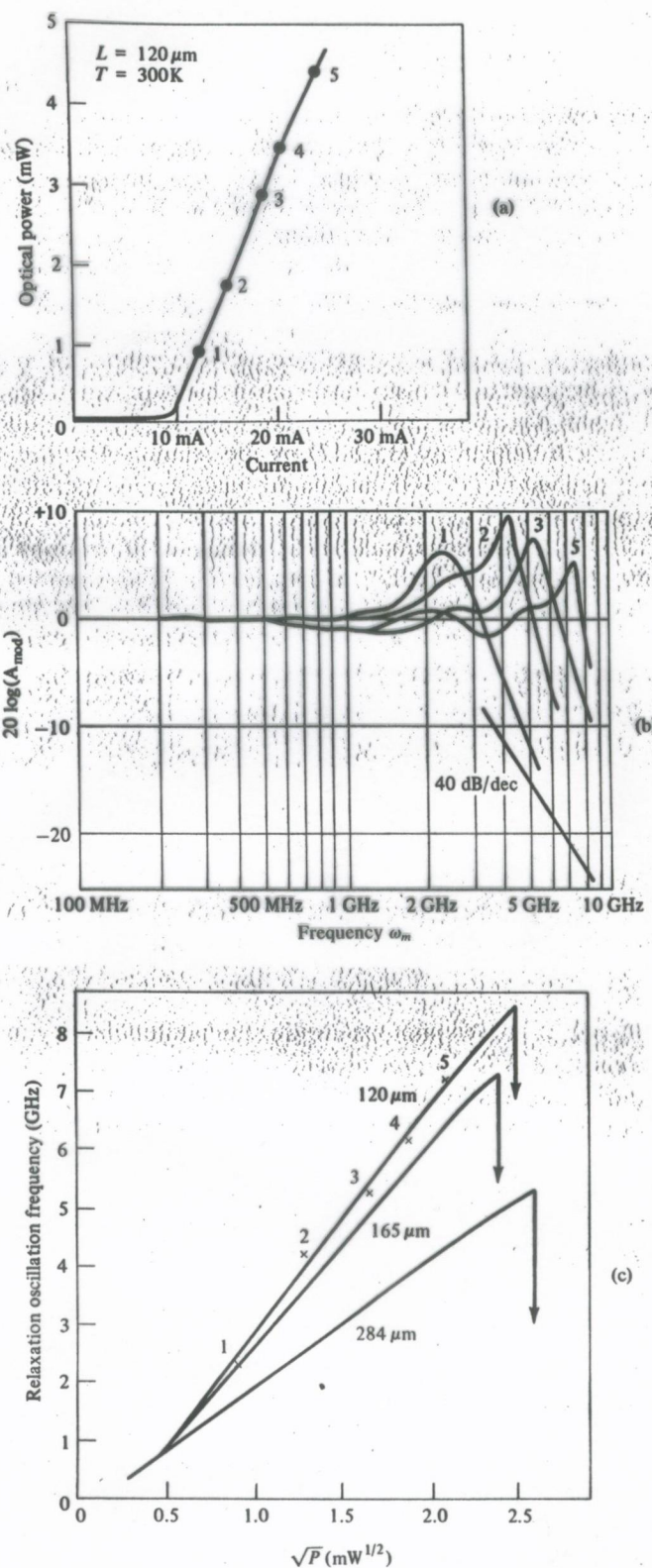


Figure 15-19 (a) CW light output power versus current characteristic of a laser of length = 120 μm . (b) Modulation characteristics of this laser at various bias points indicated in the plot. (c) Measured relaxation oscillation resonance frequency of lasers of various cavity lengths as a function of \sqrt{P} , where P is the cw output optical power. The points of catastrophic damage are indicated by downward pointing arrows. (After Reference [27].)